



Resistencia de Materiales

FLEXIÓN PLANA II:

(Cálculo de desplazamientos)

CONTENIDO DE LA ASIGNATURA

BLOQUE TEMATICO: ELASTICIDAD Y RESISTENCIA DE MATERILES

CAPÍTULO 1: INTRODUCCIÓN A LA ELASTICIDAD Y LA RESISTENCIA DE MATERIALES

CAPÍTULO 2: EL SÓLIDO ELÁSTICO.

CAPÍTULO 3: CRITERIOS DE PLASTIFICACIÓN Y DE ROTURA

CAPÍTULO 4: RESISTENCIA DE MATERIALES. CONCEPTOS BÁSICOS

CAPÍTULO 5: TRACCIÓN Y COMPRESIÓN

CAPÍTULO 6: FLEXIÓN PLANA ELÁSTICA.

CAPÍTULO 7: INTRODUCCIÓN AL CÁLCULO PLÁSTICO

CAPÍTULO 8: FLEXO-COMPRESIÓN DESVIADA

CAPÍTULO 9: TORSIÓN

CAPÍTULO 10: POTENCIAL ELÁSTICO DE BARRAS. MÉTODOS ENERGÉTICOS

CAPÍTULO 11: INESTABILIDAD DE BARRAS PRISMÁTICAS. PANDEO









Resistencia de Materiales

FLEXIÓN PLANA II:

(Cálculo de desplazamientos)

- 1. Ecuación de la elástica. Ecuación de los giros.
- 2. Cálculo de la deformada de una viga a partir de la ecuación diferencial de la elástica.
- 3. Cálculo de la deformada de una viga mediante el método de superposición.
- 4. Energía de deformación debida al momento flector.
- 5. Energía de deformación debida al cortante.
- 6. Efecto de la cizalladura en la deformación de vigas.
- 7. Diagramas a estima.



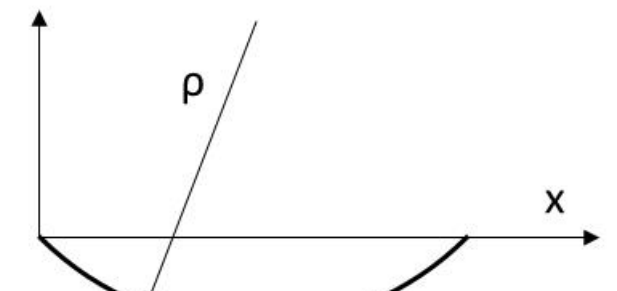


Ecuación de la elástica. Ecuación de los giros

Open ≦ Course Ware

Al estudiar la flexión pura de una barra prismática, se vio que la curvatura de la superficie neutra venía dada por la expresión:

$$\frac{1}{\rho} = \frac{M_z(x)}{EI_z(x)}$$



Flexión pura: el momento flector (M_z) = constante Si el producto $E.I_z$ es constante a lo largo de la viga



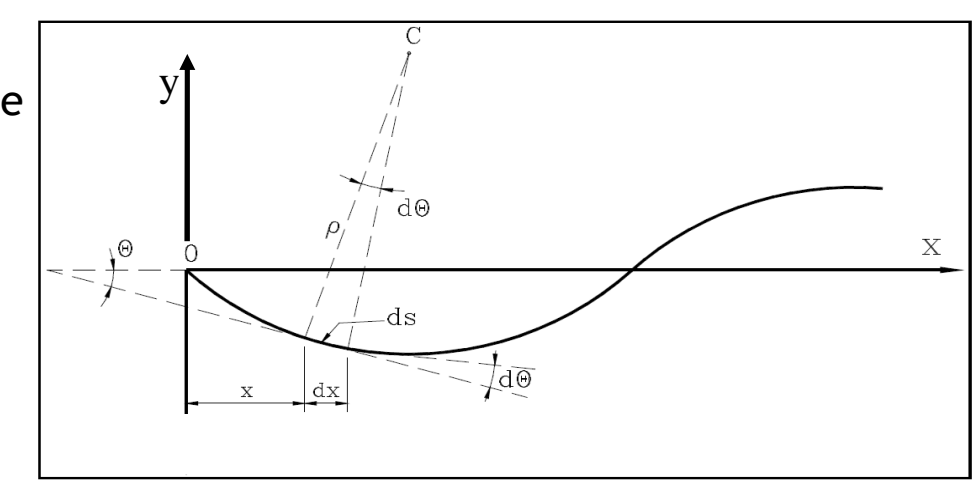
arco de circunferencia.

A la deformación del eje neutro se le denomina "Línea Elástica", "Curva de deformación" o simplemente "Deformada".

Si el momento flector es variable (flexión simple)

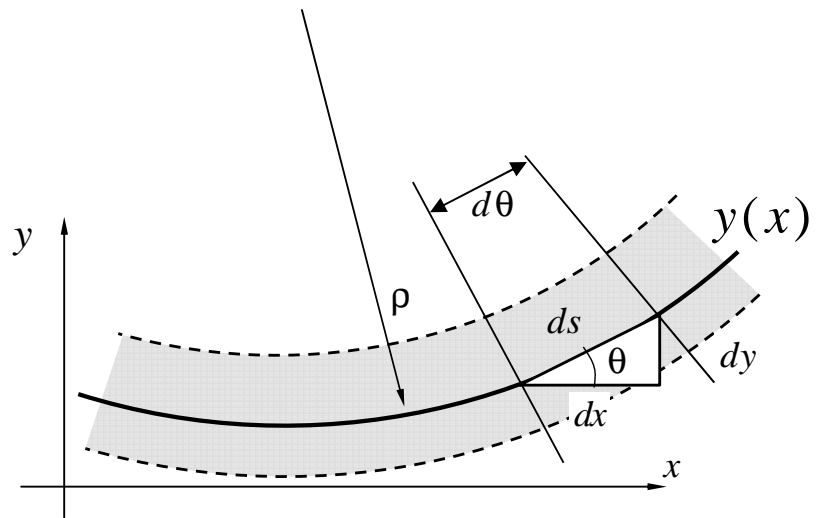


arco de circunferencia.





Si admitimos que para cada elemento diferencial dx, su deformada es un arco, tendremos: Course



$$ds = \rho . d\theta$$

$$\frac{d}{ds} = \frac{d\theta}{ds}$$

Dentro del límite elástico, las deformaciones son muy pequeñas por lo que podemos admitir:

$$dx \approx ds$$
 $\theta \Box 1$ $\theta \approx \tan \theta = \frac{dy}{dx}$

De esta forma obtenemos:

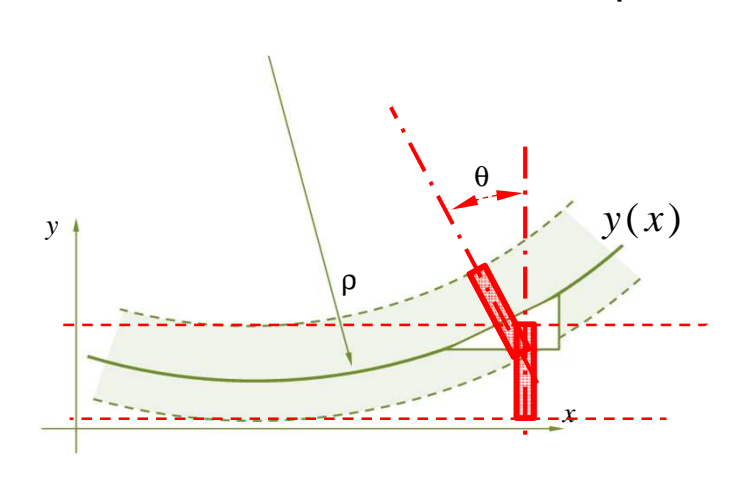
$$\frac{1}{\rho} = \frac{M_z(x)}{E.I_z(x)} = \frac{d^2y}{dx^2}$$

Ecuación diferencial de la elástica.





Una vez obtenida la ecuación diferencial, las constantes de integración se deducen de las condiciones de contorno del problema.



$$y'(x) = \int \frac{M_z(x)}{E I_z(x)} + C_1$$

$$\theta_z(x) = \int \frac{M_z(x)}{E I_z(x)} + C_1$$

Ecuación de GIROS

$$y(x) = \int \left(\int \frac{M_z(x)}{E I_z(x)} dx \right) dx + C_1 x + C_2$$

Ecuación de la Elástica

Notas:

- Sólo válida dentro del campo elástico
- se desprecian las deformaciones producidas por las tensiones de cizalladura (como veremos más adelante esta influencia puede no ser despreciable en algunos casos).





Notas:

• Para cualquier función y=f(x), matemáticamente se puede demostrar:

$$\frac{1}{\rho} = \frac{d^2y/dx^2}{\left[1 + \left(\frac{dy}{dx}\right)^2\right]^{\frac{3}{2}}}$$

Dentro del campo elástico:

$$\theta \Box 1 \qquad \theta \approx \tan \theta = \frac{dy}{dx} \qquad \Longrightarrow \qquad \left[1 + \left(\frac{dy}{dx} \right)^2 \right]^{\frac{1}{2}} \approx 1$$

•Si diferenciamos dos veces dicha ecuación y teniendo en cuenta:

$$\frac{dM_z(x)}{dx} = V(x) \qquad \frac{dV(x)}{dx} = -q(x)$$

$$EI_z(x).y^{III} = \frac{dM_z(x)}{dx} = V_y(x)$$

$$EI_{z}(x).y^{IV} = \frac{dV_{y}(x)}{dx} = -q(x)$$

 $EI_{z}(x).y^{III} = \frac{dM_{z}(x)}{dx} = V_{y}(x)$ $V_{y}(x) = \text{esfuerzo cortante}$ q(x) = carga uniformemente repartida (F/L) $EI_{z}(x).y^{IV} = \frac{dV_{y}(x)}{dx} = -q(x)$





- La integración es sencilla cuando Mz tiene una expresión analítica simple e integrable.
- Las constantes de integración se determinan por las condiciones de contorno.
- Si Mz se anula en algún punto, se anula también y" la elástica tiene un punto de inflexión.
- y e y' no pueden ser discontinuas ya que en el primer caso supone rotura de la viga y en el segundo habría un punto anguloso en el que $\rho=0$, lo que supondría que Mz es infinito $\sigma>\sigma_e$.
- y" es discontinua en todos los puntos donde M/EI lo sea, por aplicación de un momento exterior o cambio de sección o material.
- Si la expresión analítica de M varía de un tramo a otro, habrá que integrar separadamente cada trozo.

Constantes de integración = condiciones de apoyo + condiciones de continuidad de la elástica en las secciones de discontinuidad de los momentos flectores.

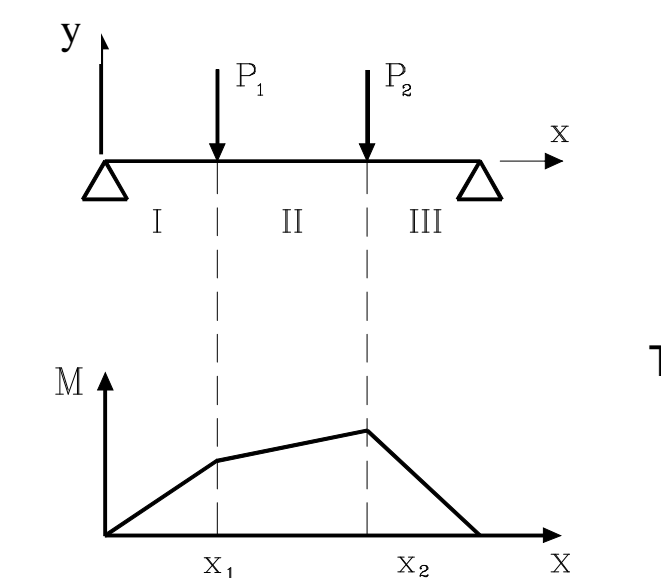








Ejemplo



$$\frac{dy}{dx^2} = \frac{M_z(x)}{E.I_z(x)}$$

Tres Tramos (I,II,III) — Tres Ecuaciones de la elástica

Seis constantes de integración.

Condiciones de apoyo

$$x = 0; y = 0$$

$$x = L$$
; $y = 0$

Condiciones de continuidad

$$x = x_{I} \begin{cases} y_{I} = y_{II} \\ \theta_{I} = \theta_{II} \end{cases}$$

$$x = x_{2} \begin{cases} y_{II} = y_{III} \\ \theta_{II} = \theta_{III} \end{cases}$$

$$\left(\begin{array}{c} -x_2 \\ \theta_{II} = \theta_{II} \end{array}\right)$$



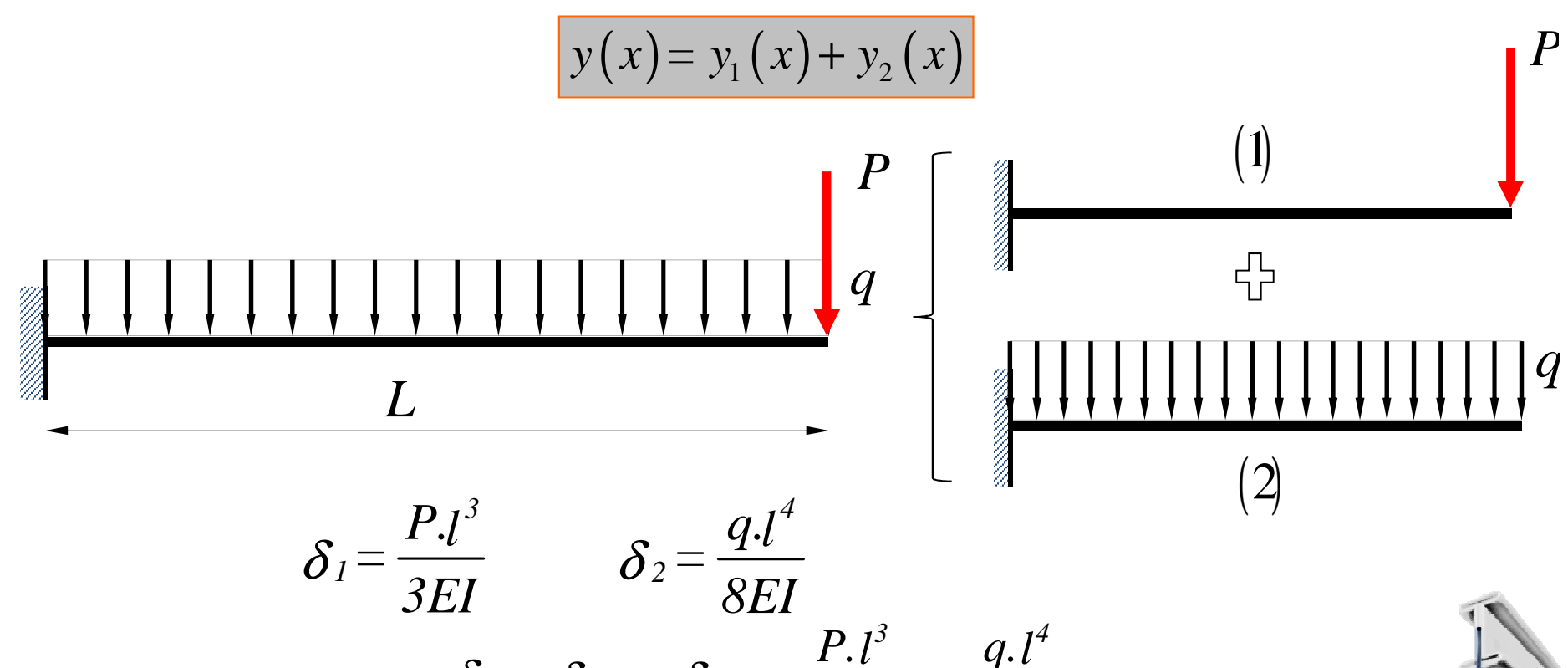
Método de superposición



$$\frac{d^2y}{dx^2} = \frac{M_z(x)}{EI_z(x)}$$

Ecuación diferencial de la elástica.

Ecuación diferencial lineal en y" Las soluciones para varios casos de carga pueden superponerse.



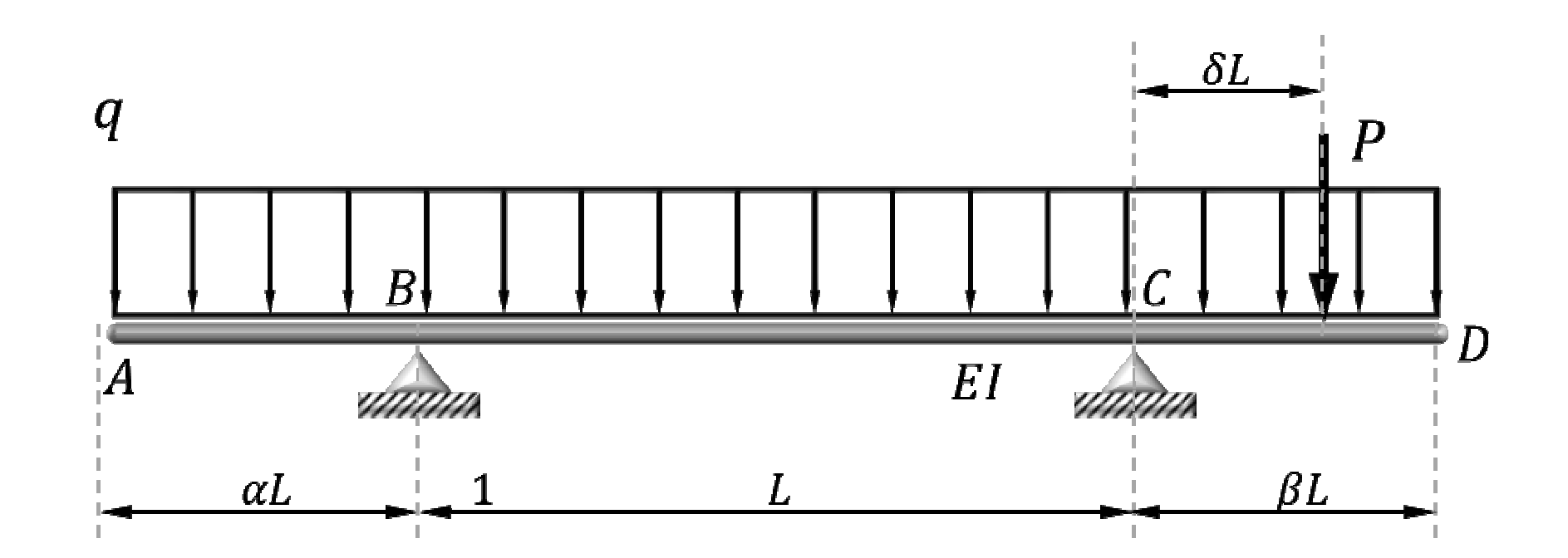






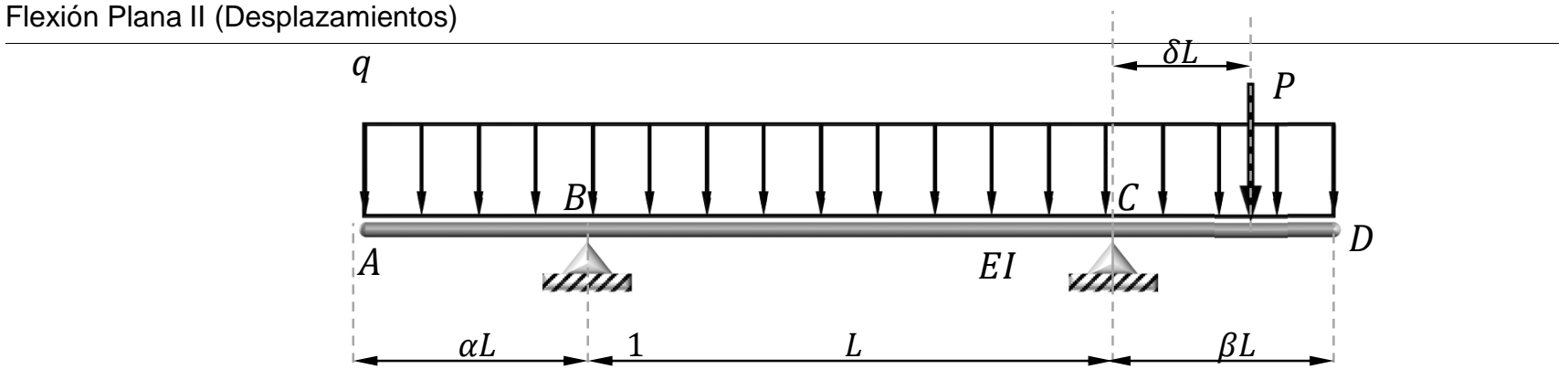
APLICACIÓN DEL PRINCIPIO DE SUPERPOSICIÓN A LA DETERMINACIÓN DE LA DEFORMADA DE SISTEMAS DE BARRAS

Ejemplo 1



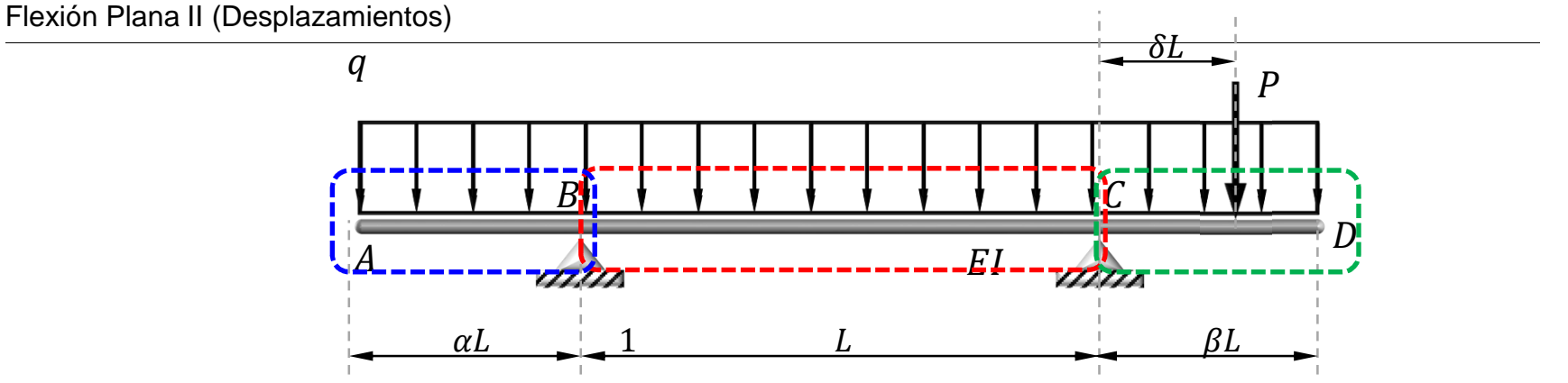










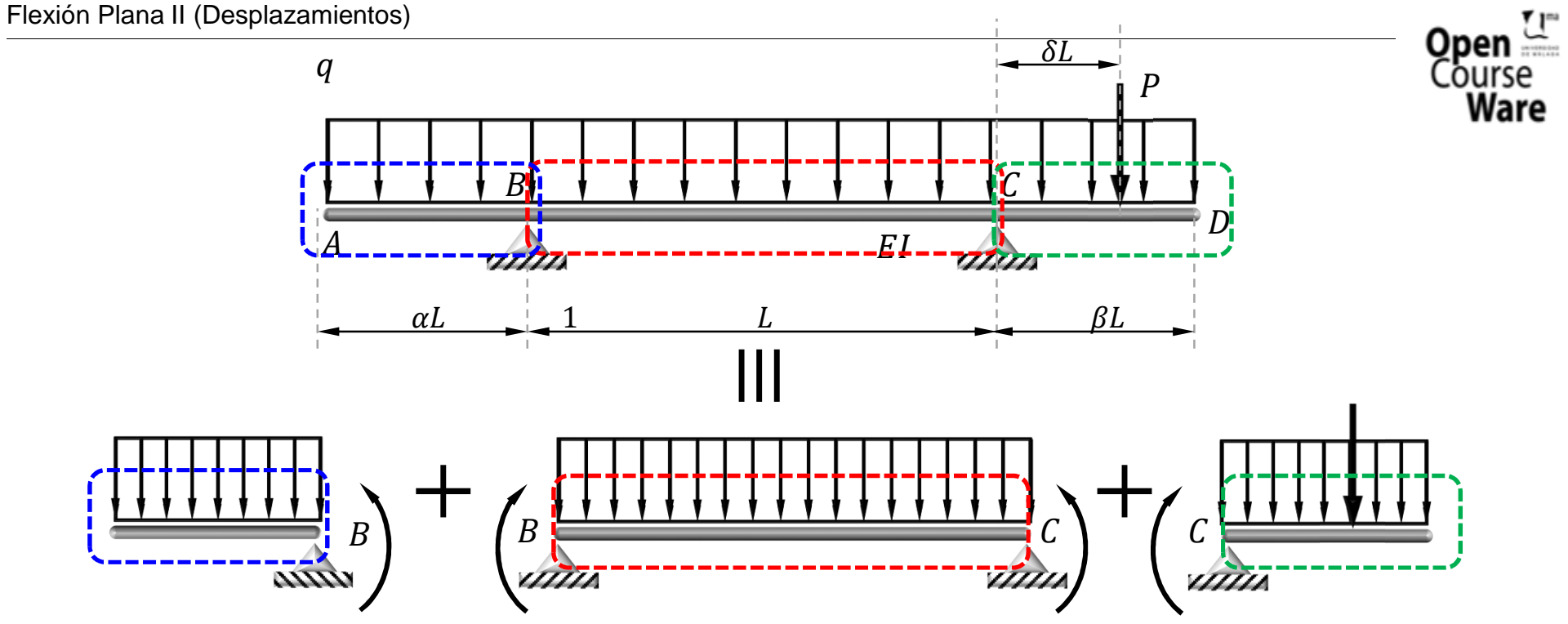






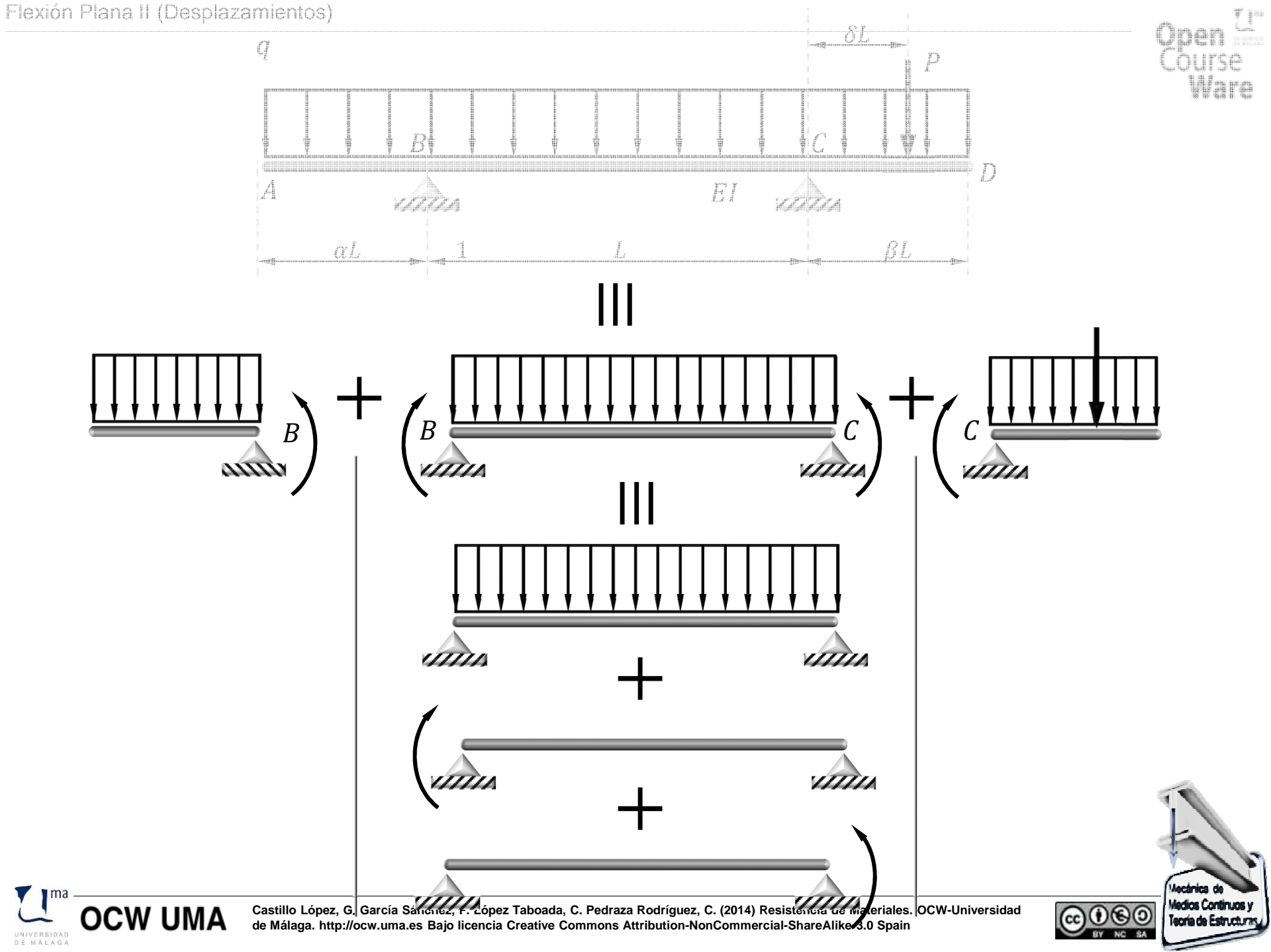


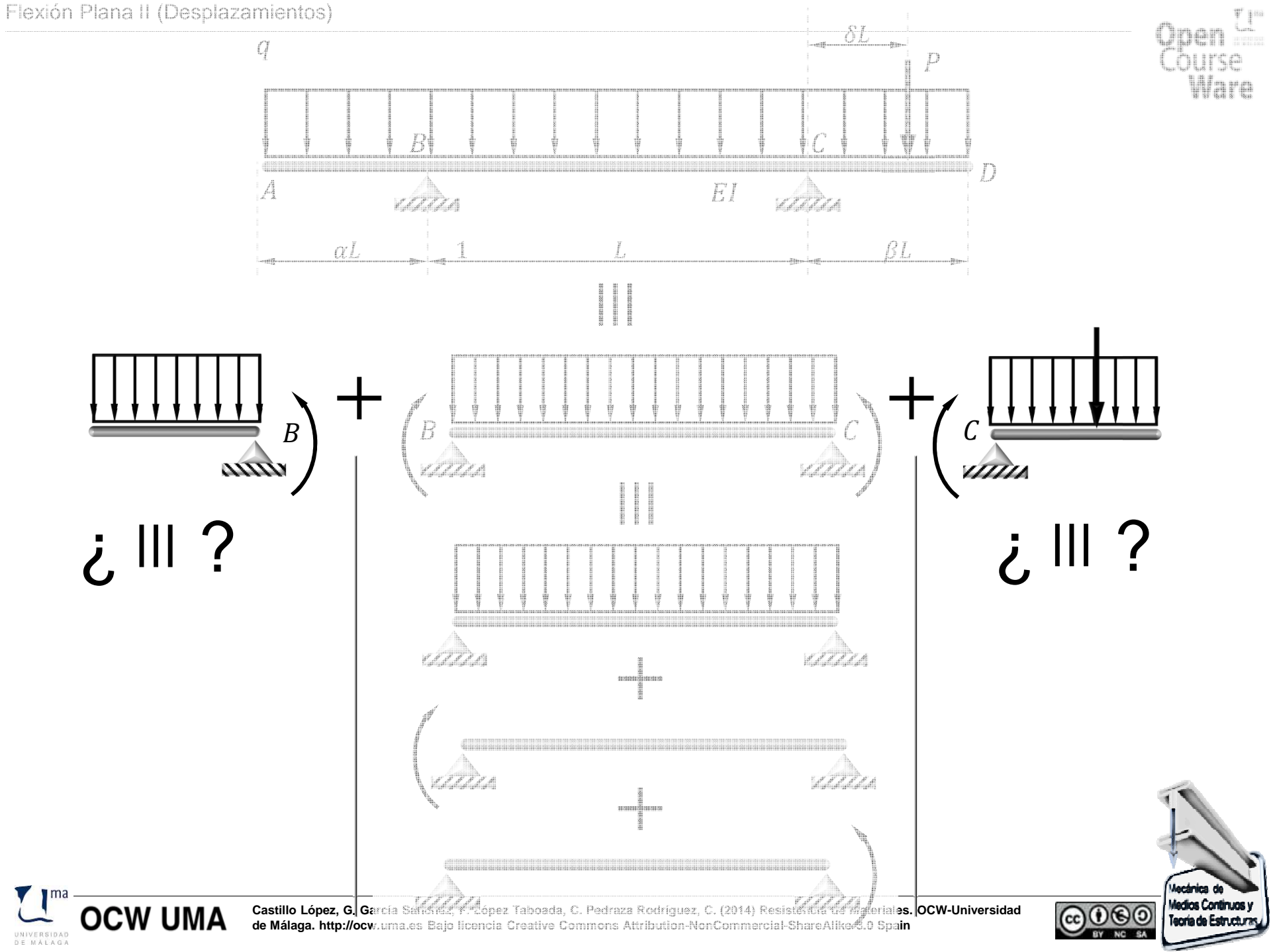


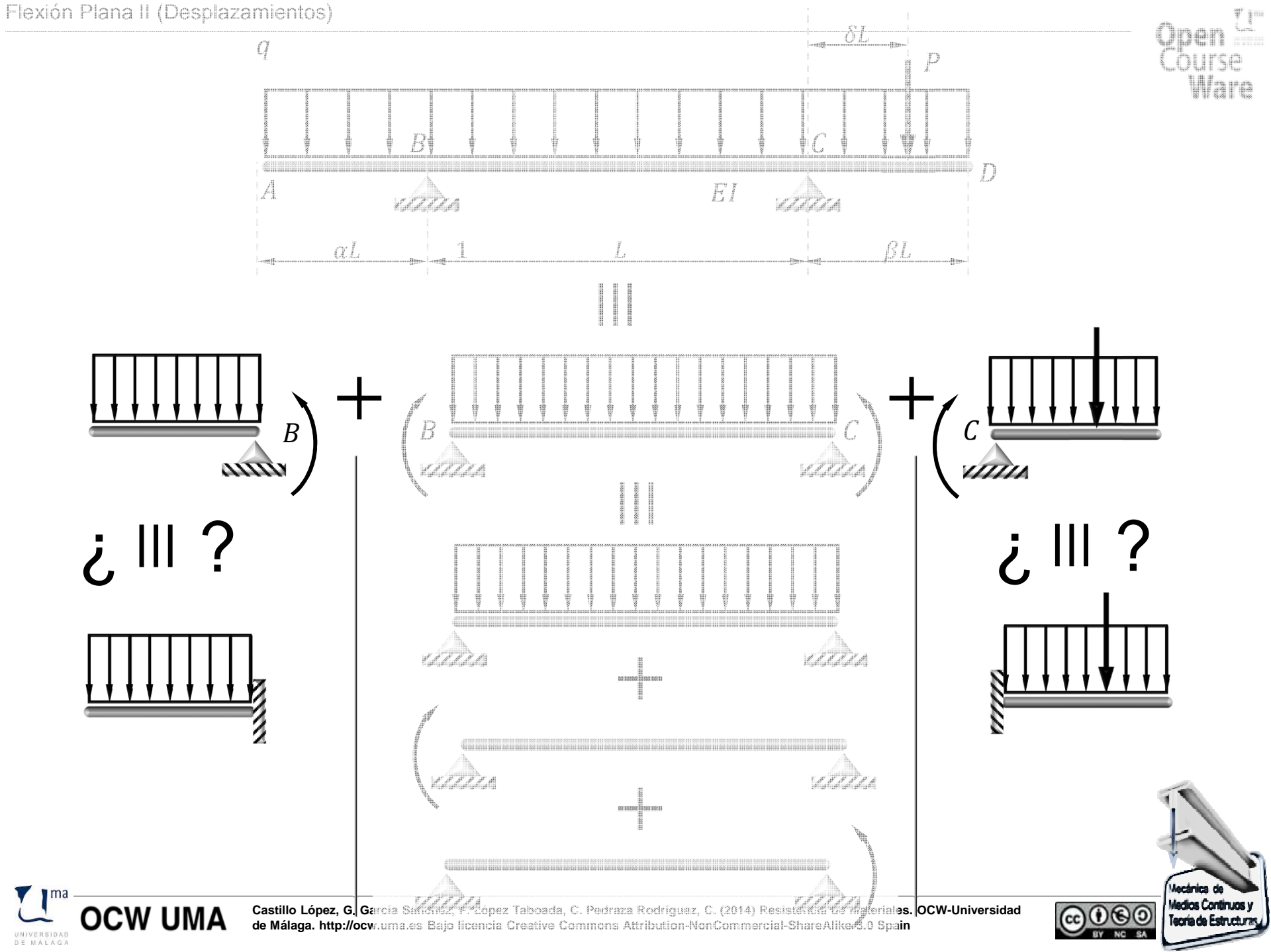


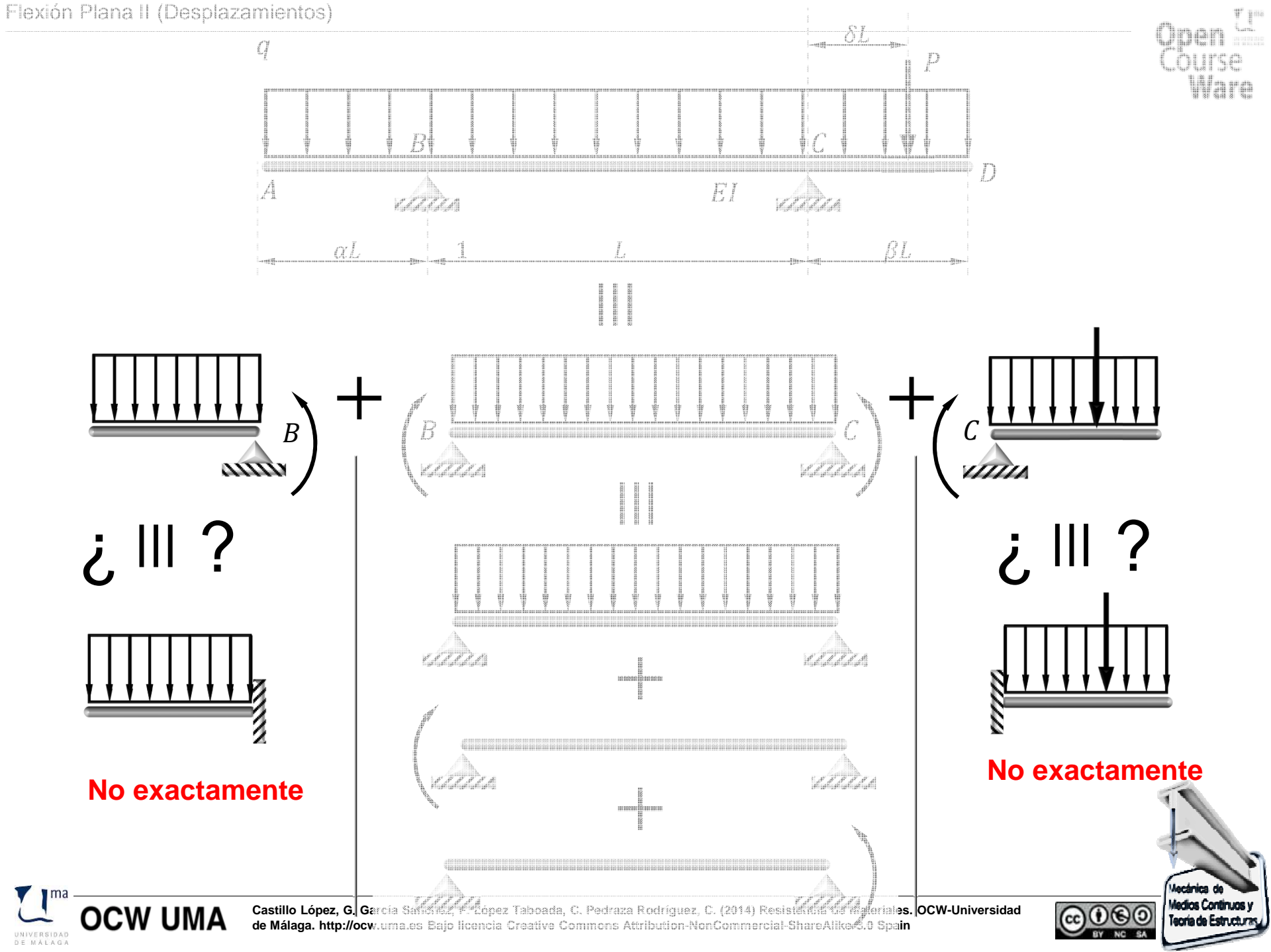


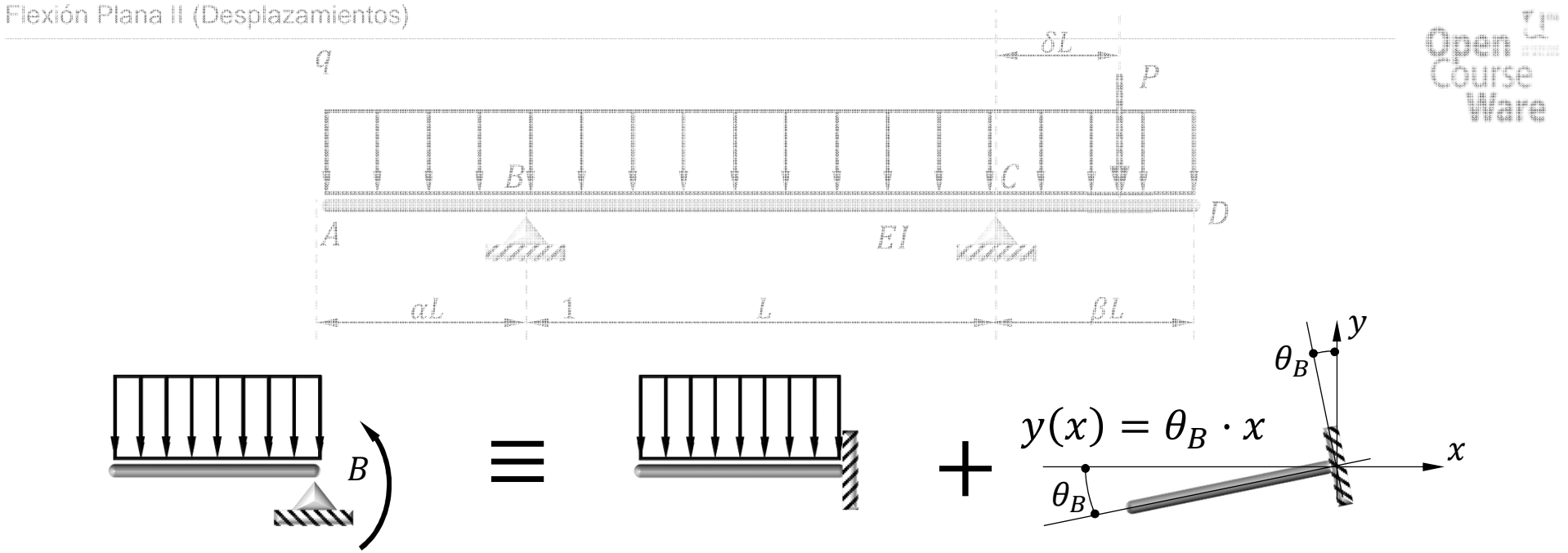






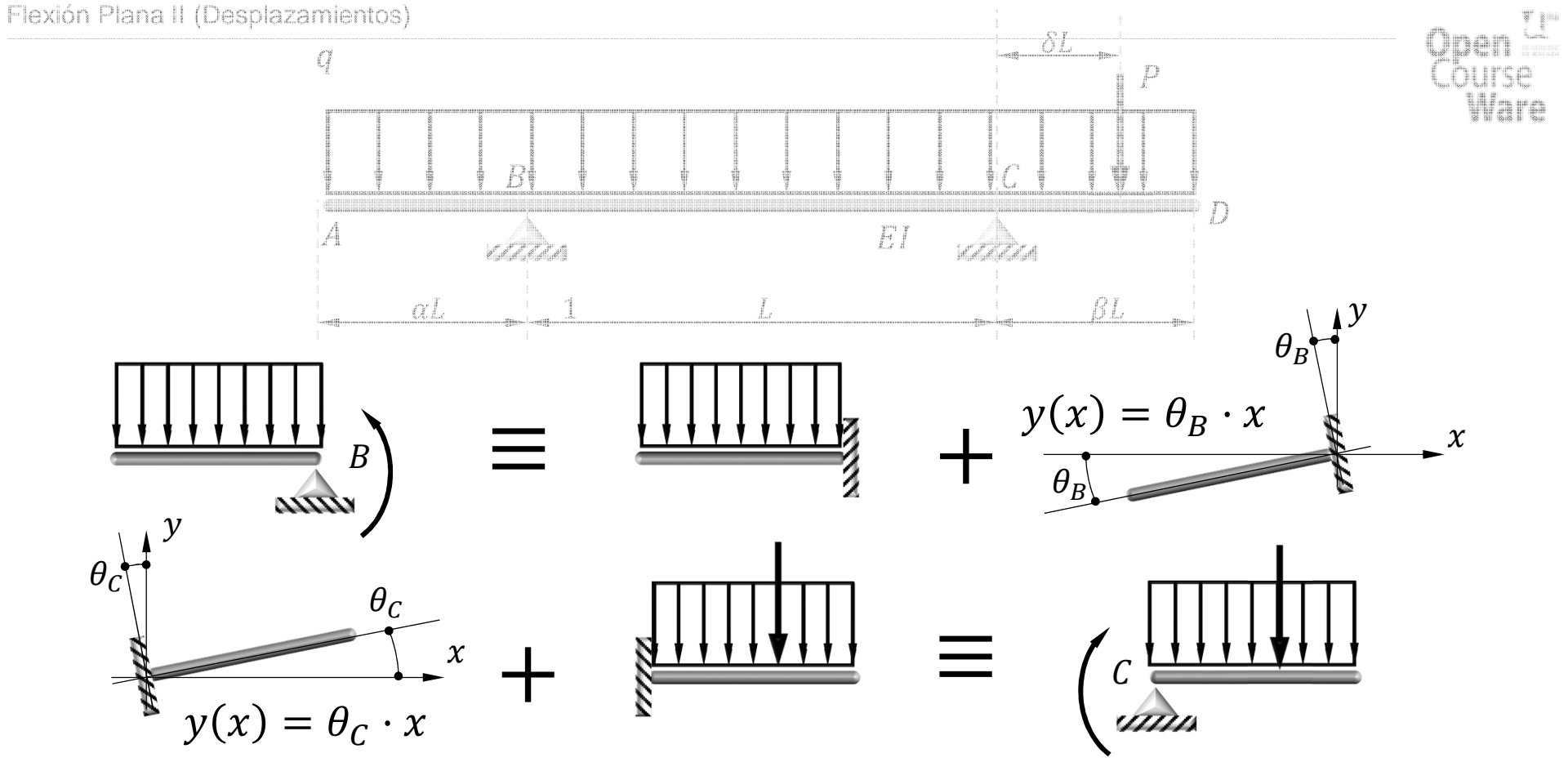






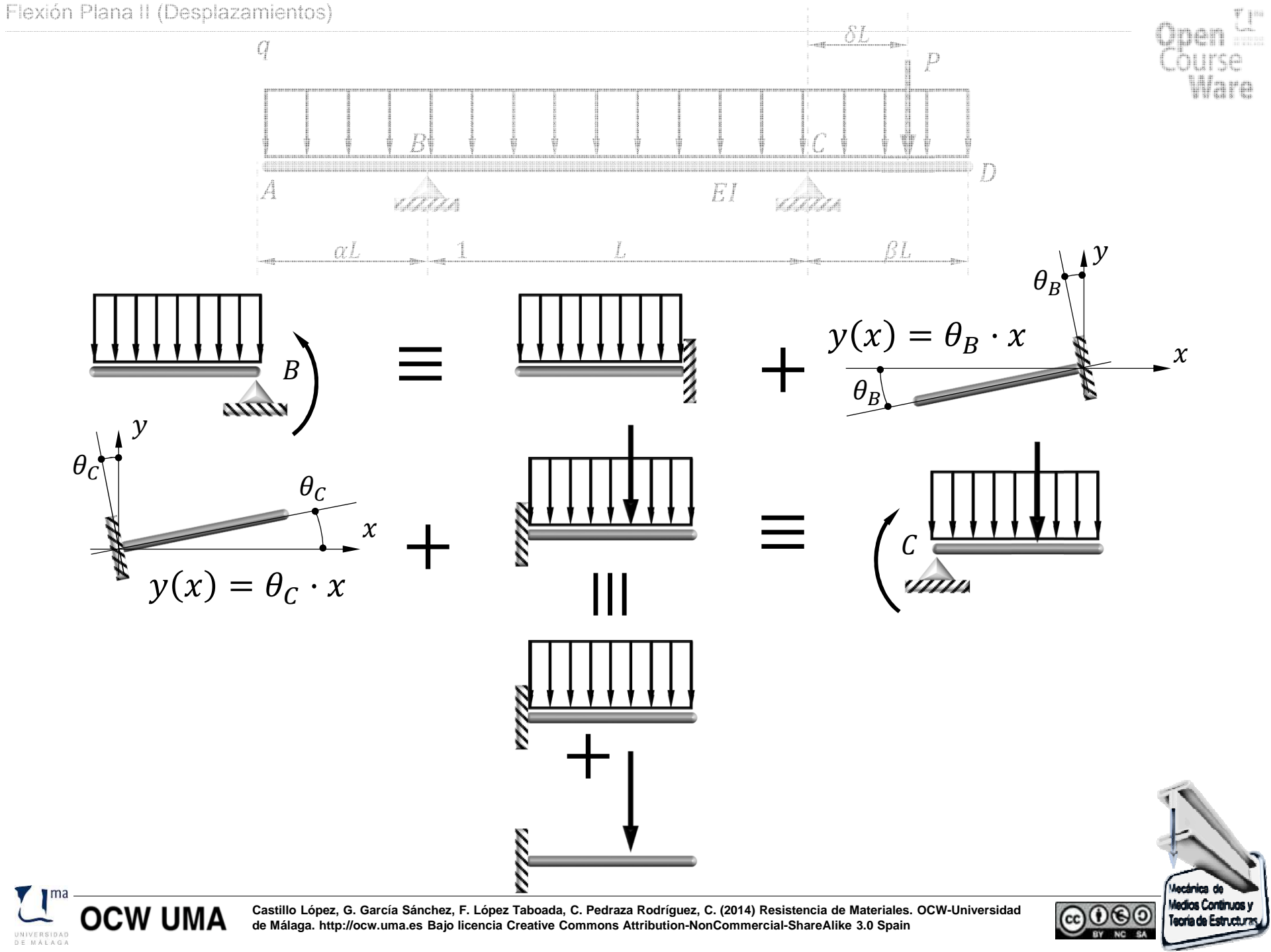


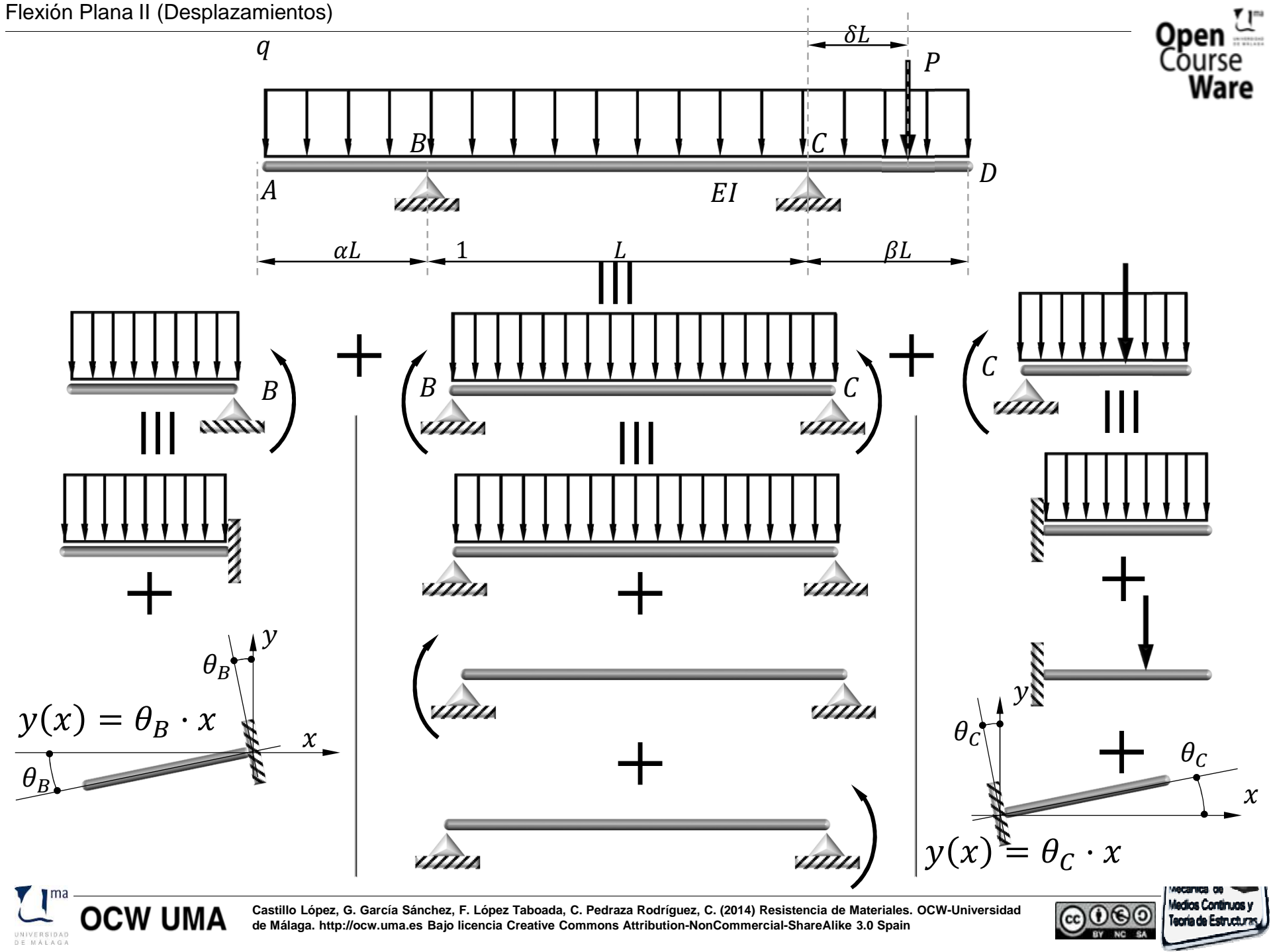






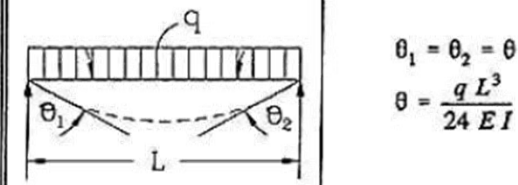






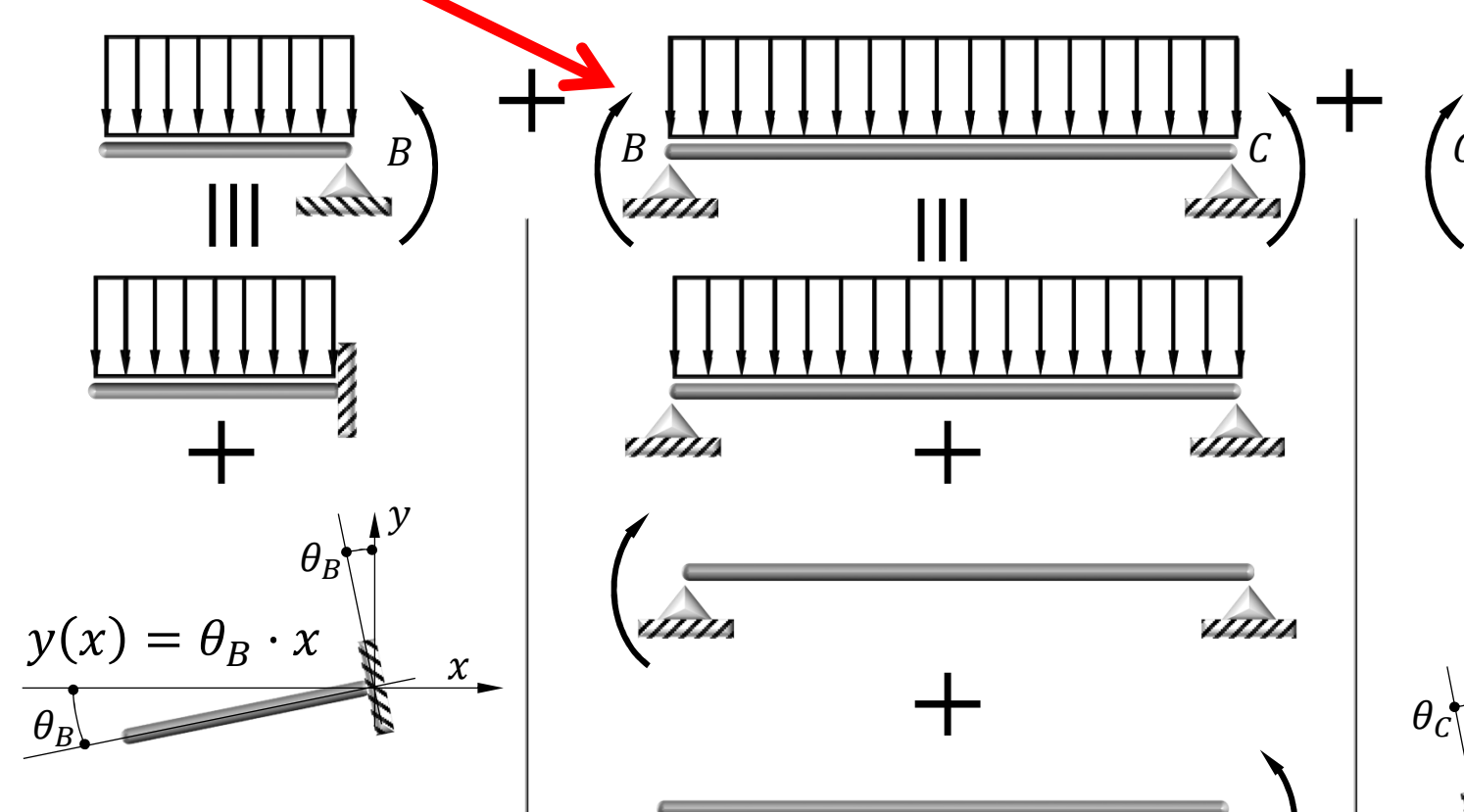
Flexión Plana II (Desplazamientos)

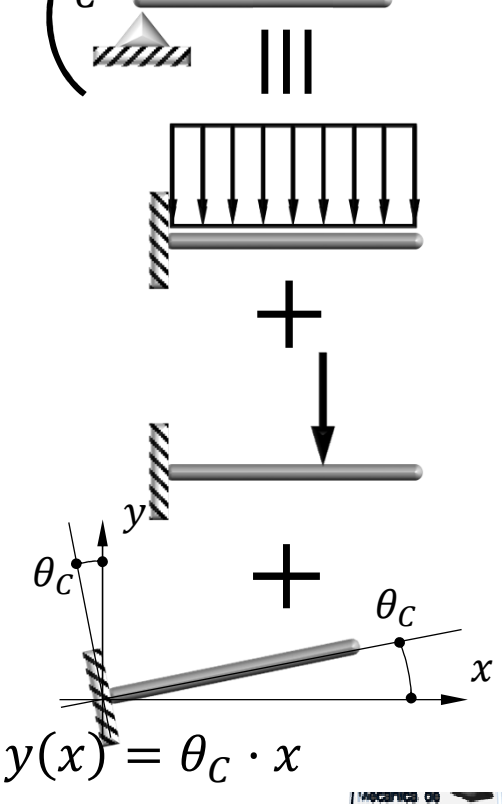
8.- Viga simplemente apoyada en los extremos - Carga uniformemente distribuida q.



$$\theta_2 = \theta$$
 $q L^3$
 $y = \frac{qx}{24EI} (L^3 - 2Lx^2 + x^3)$

$$\delta = \frac{5q}{384}$$





Open Course Ware



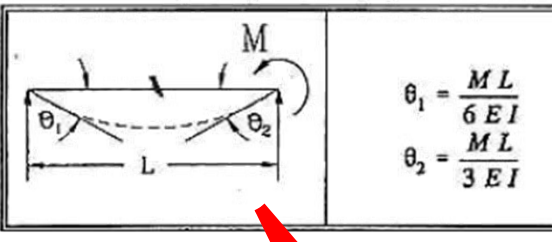
OCW UMA

Castillo López, G. García Sánchez, F. López Taboada, C. Pedraza Rodríguez, C. (2014) Resistencia de Materiales. OCW-Universidad de Málaga. http://ocw.uma.es Bajo licencia Creative Commons Attribution-NonCommercial-ShareAlike 3.0 Spain



Flexión Plana II (Desplazamientos)

9.- Viga simplemente apoyada en los extremos - Momento M en el extremo de la derecha

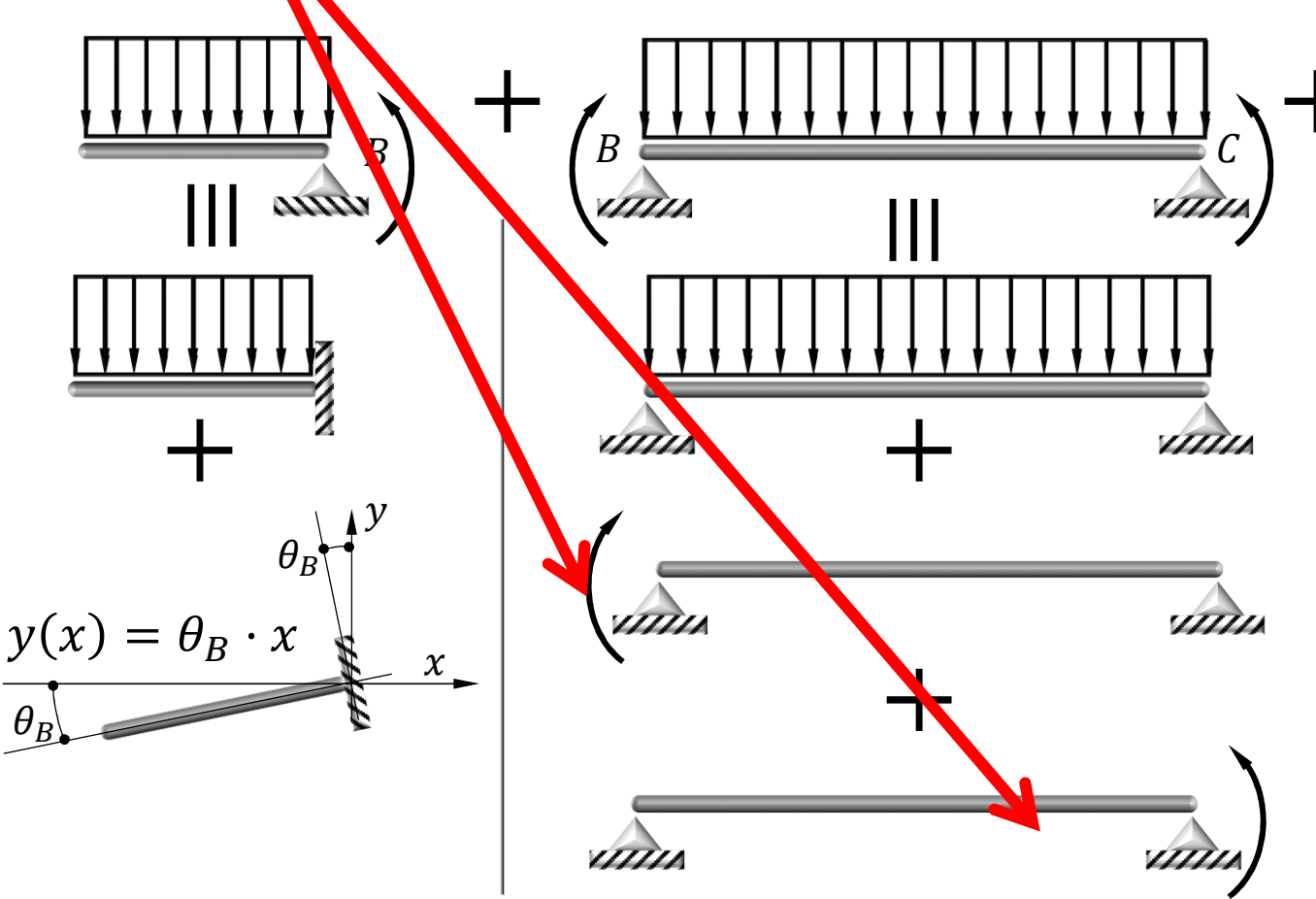


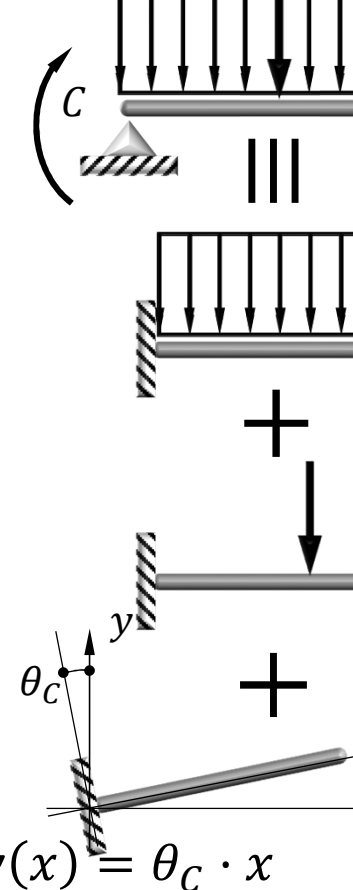
$$y = \frac{MLx}{6EI} \left(1 - \frac{x^2}{L^2} \right)$$

$$\delta = \frac{mZ}{9\sqrt{3}EI} \quad en \ x = \frac{1}{2}$$

En el centro:
$$\delta = \frac{M L^2}{16 E I}$$

Open Course Ware







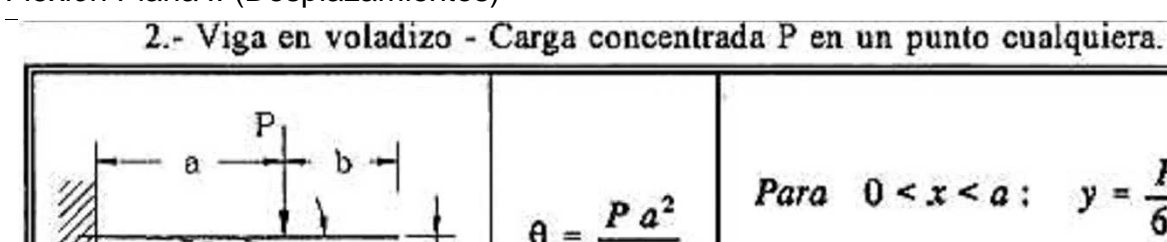
OCW UMA

Castillo López, G. García Sánchez, F. López Taboada, C. Pedraza Rodríguez, C. (2014) Resistencia de Materiales. OCW-Universidad de Málaga. http://ocw.uma.es Bajo licencia Creative Commons Attribution-NonCommercial-ShareAlike 3.0 Spain



 $\theta_{\mathcal{C}}$

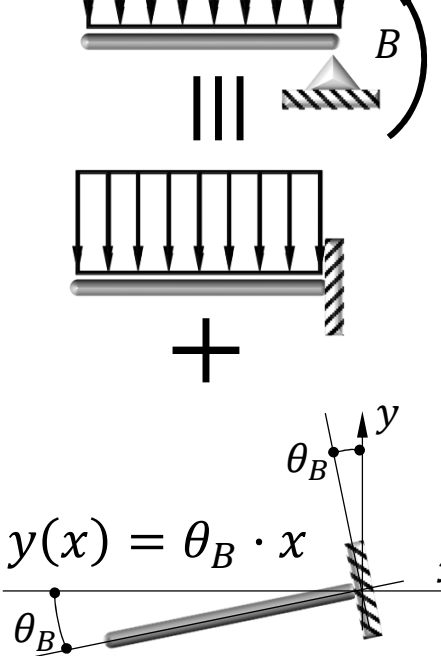


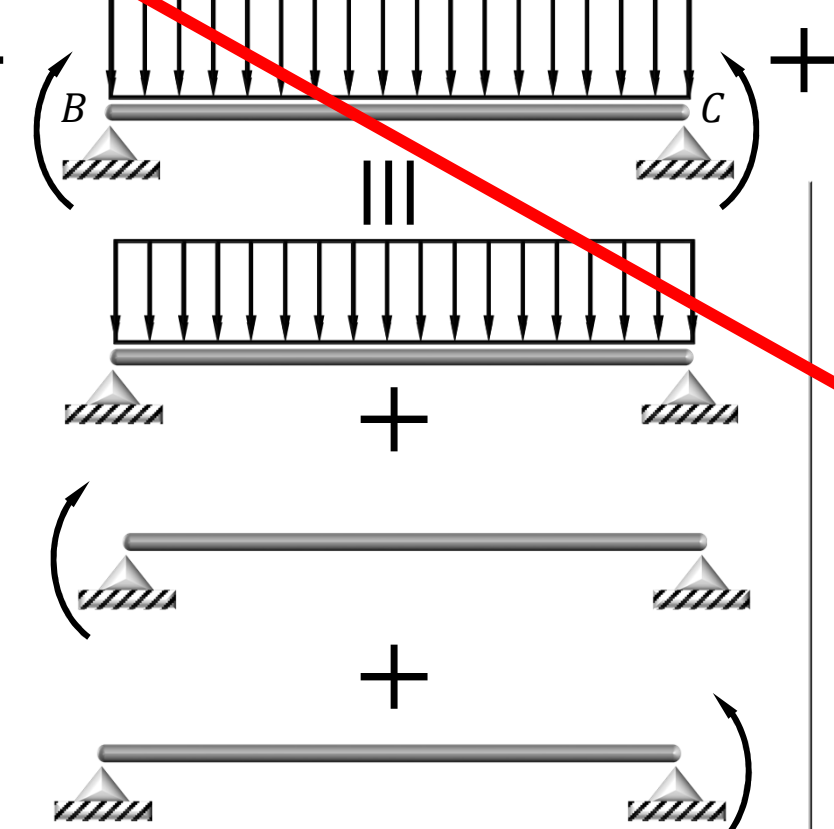


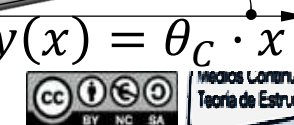
$$\frac{1}{2} (3a - x)$$

$$\frac{a^2}{2} (3x - a)$$

Open Course Ware

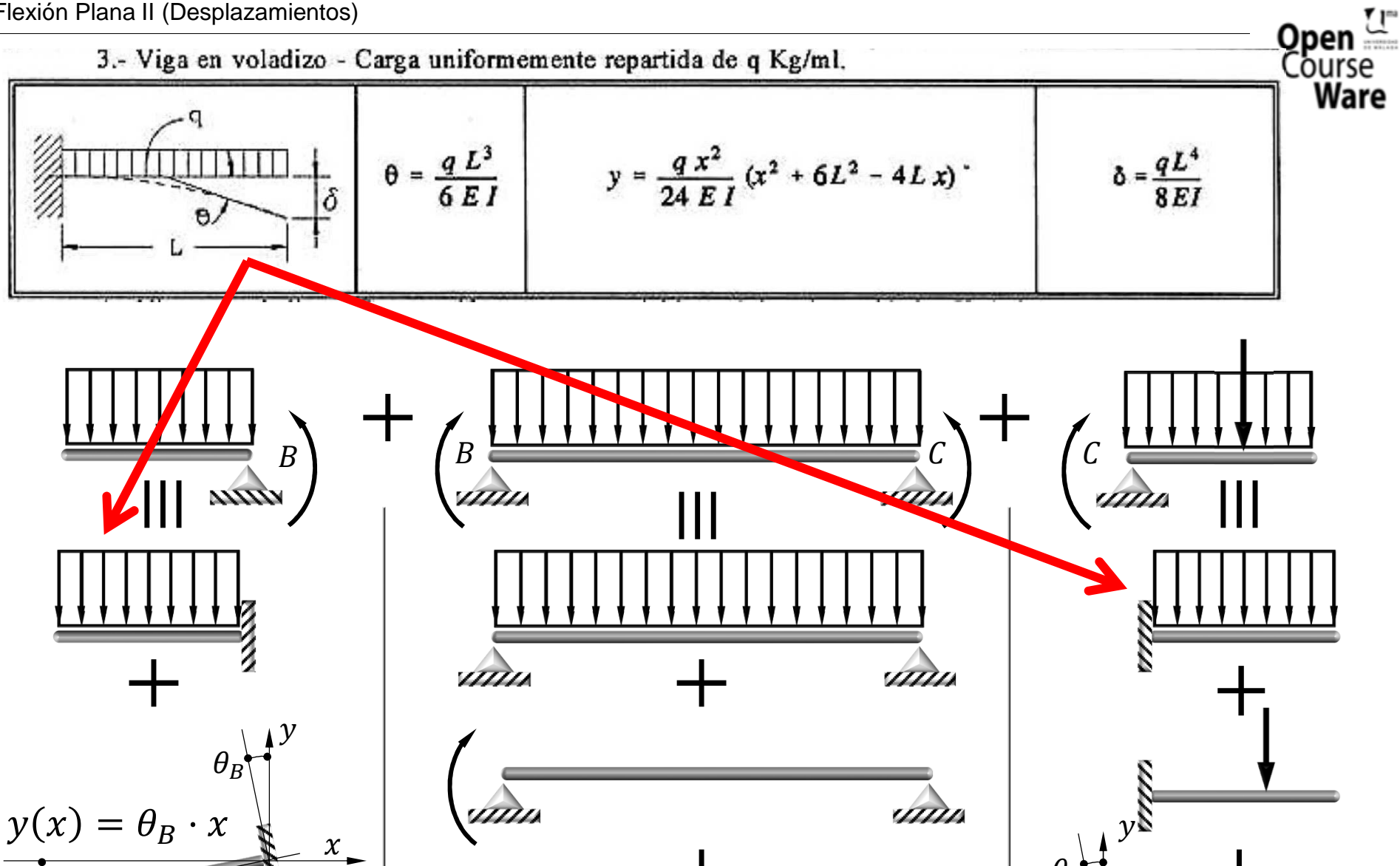






Castillo López, G. García Sánchez, F. López Taboada, C. Pedraza Rodríguez, C. (2014) Resistencia de Materiales. OCW-Universidad de Málaga. http://ocw.uma.es Bajo licencia Creative Commons Attribution-NonCommercial-ShareAlike 3.0 Spain

3.- Viga en voladizo - Carga uniformemente repartida de q Kg/ml.





Castillo López, G. García Sánchez, F. López Taboada, C. Pedraza Rodríguez, C. (2014) Resistencia de Materiales. OCW-Universidad de Málaga. http://ocw.uma.es Bajo licencia Creative Commons Attribution-NonCommercial-ShareAlike 3.0 Spain

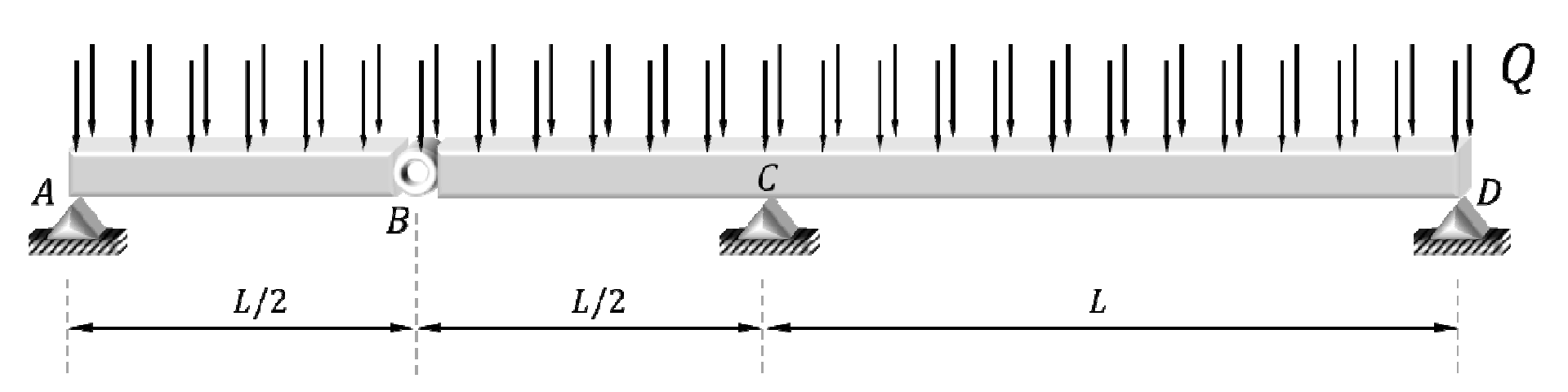




APLICACIÓN DEL PRINCIPIO DE SUPERPOSICIÓN A LA DETERMINACIÓN DE LA DEFORMADA DE SISTEMAS DE BARRAS

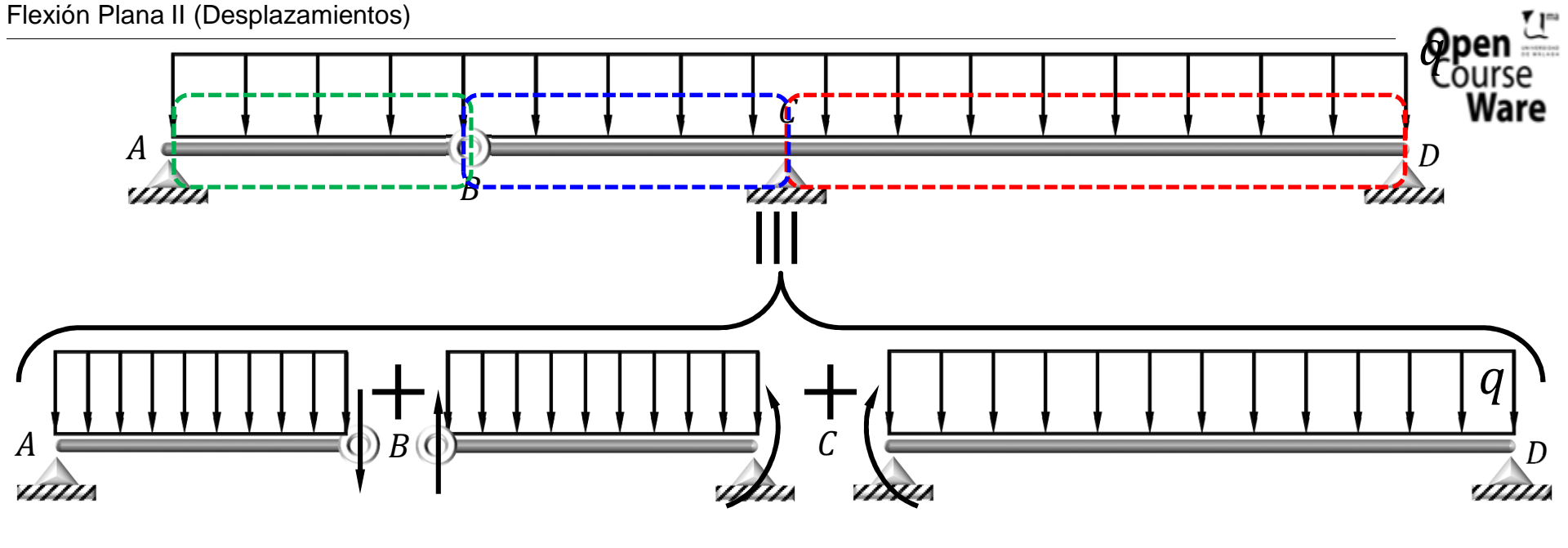
Open ⊆ Course Ware

Ejemplo 2



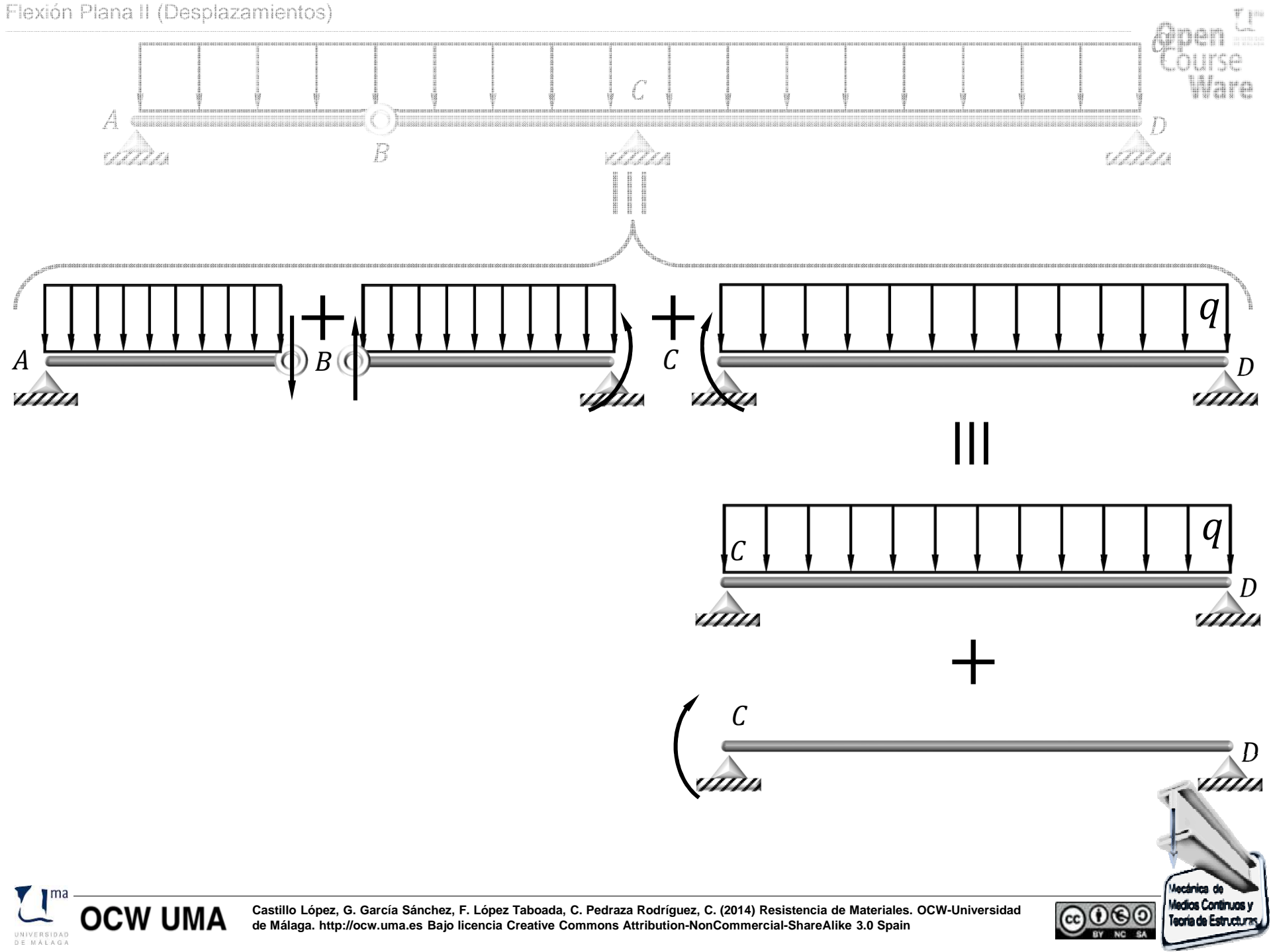


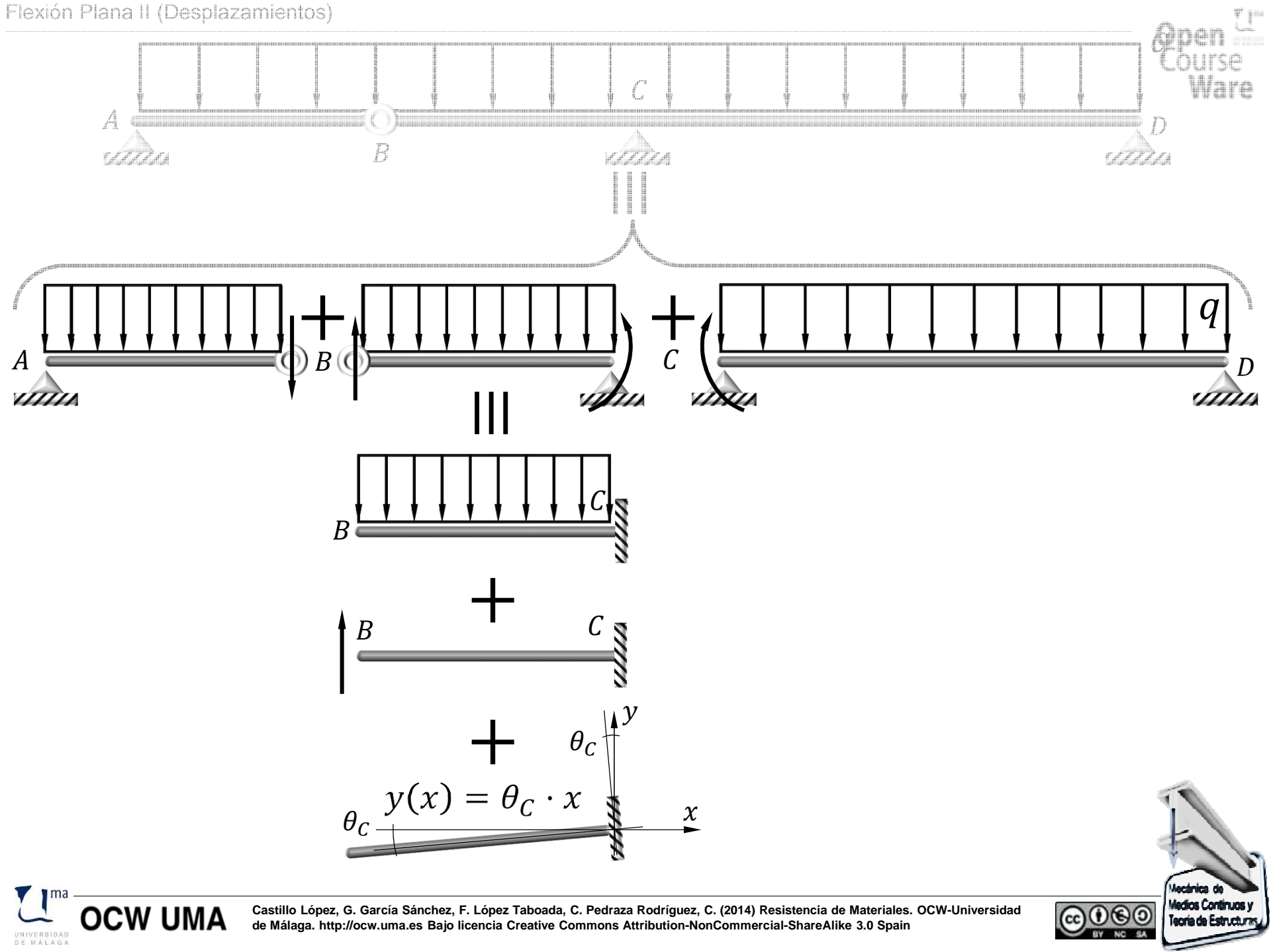


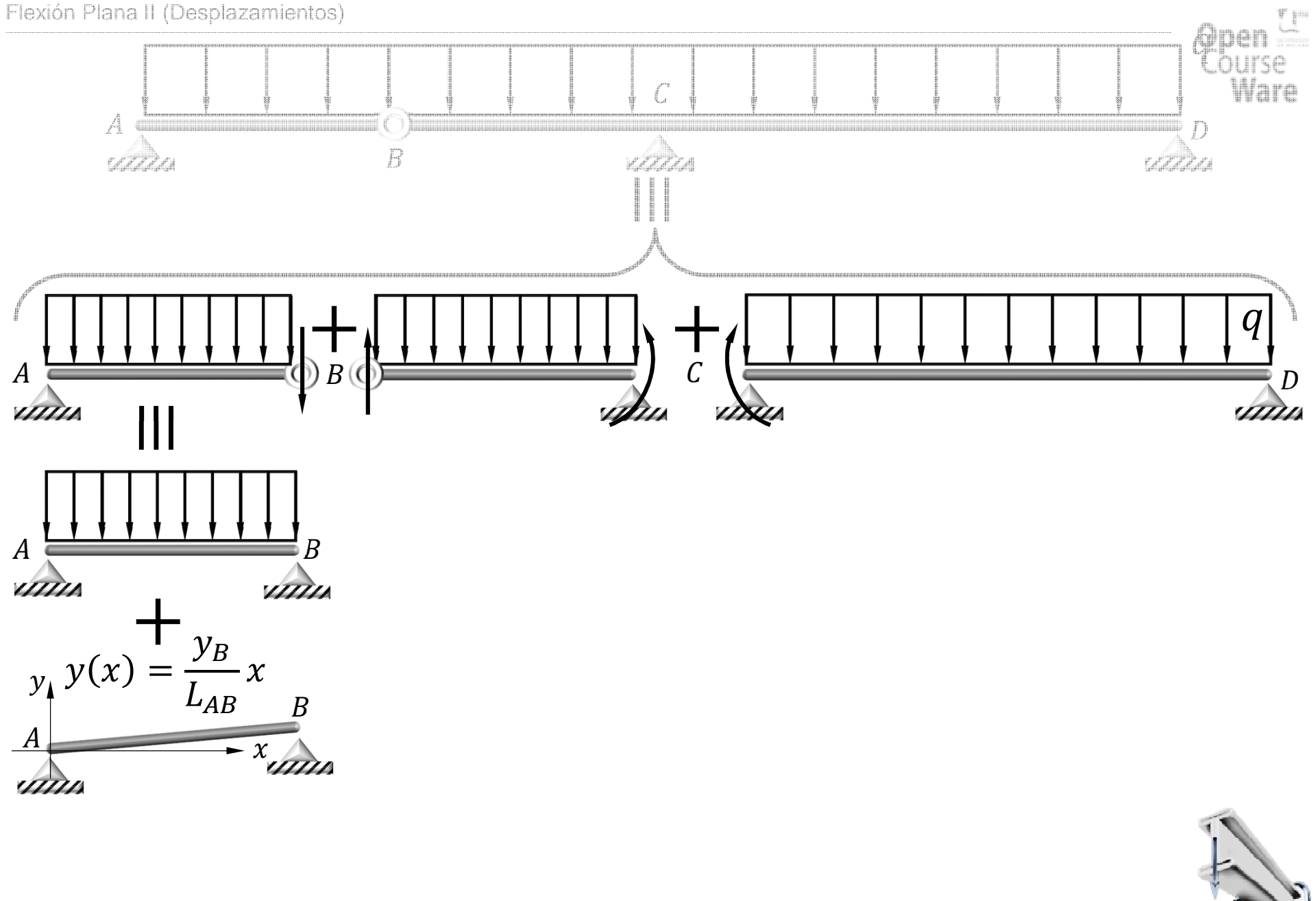










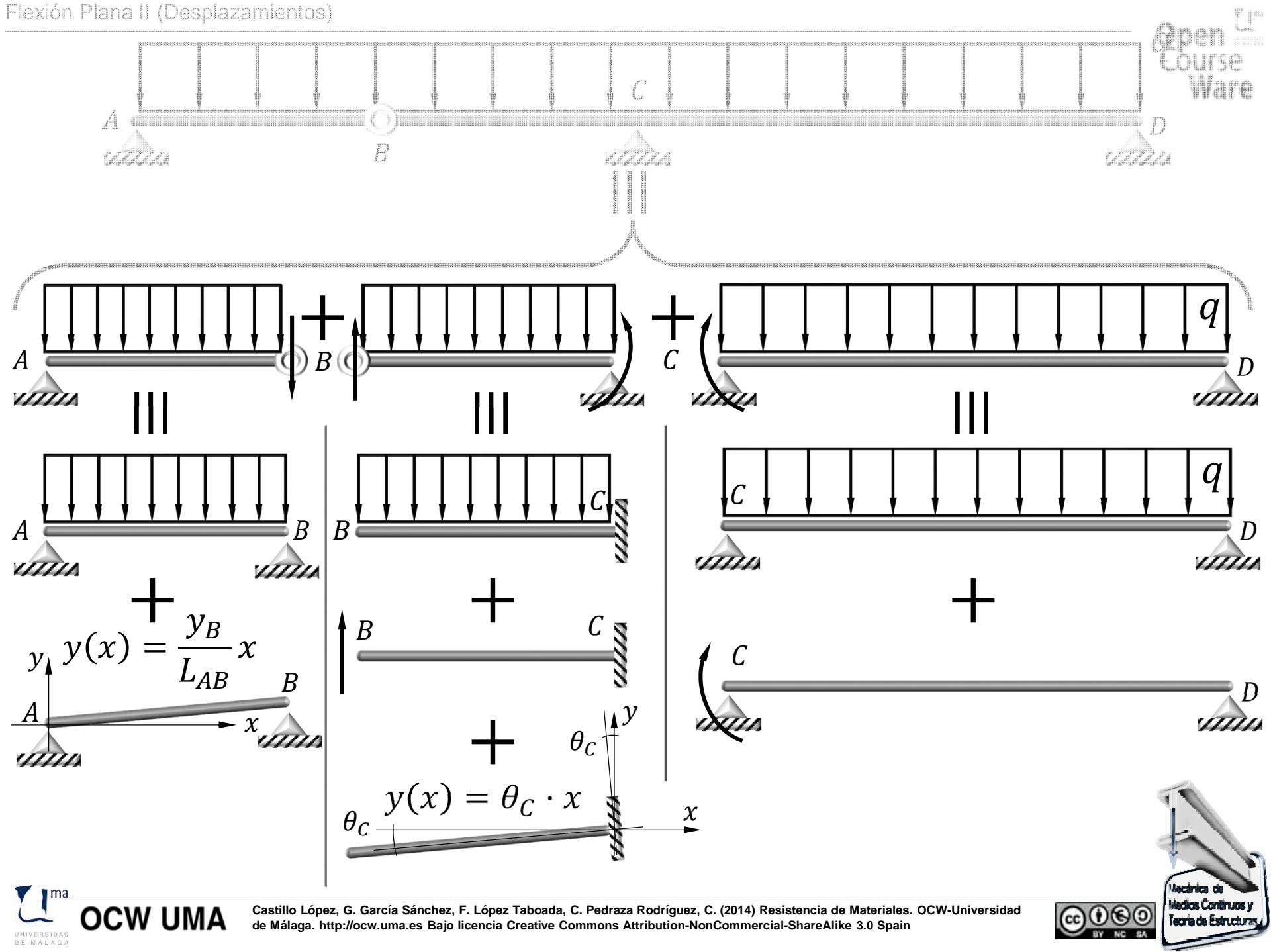


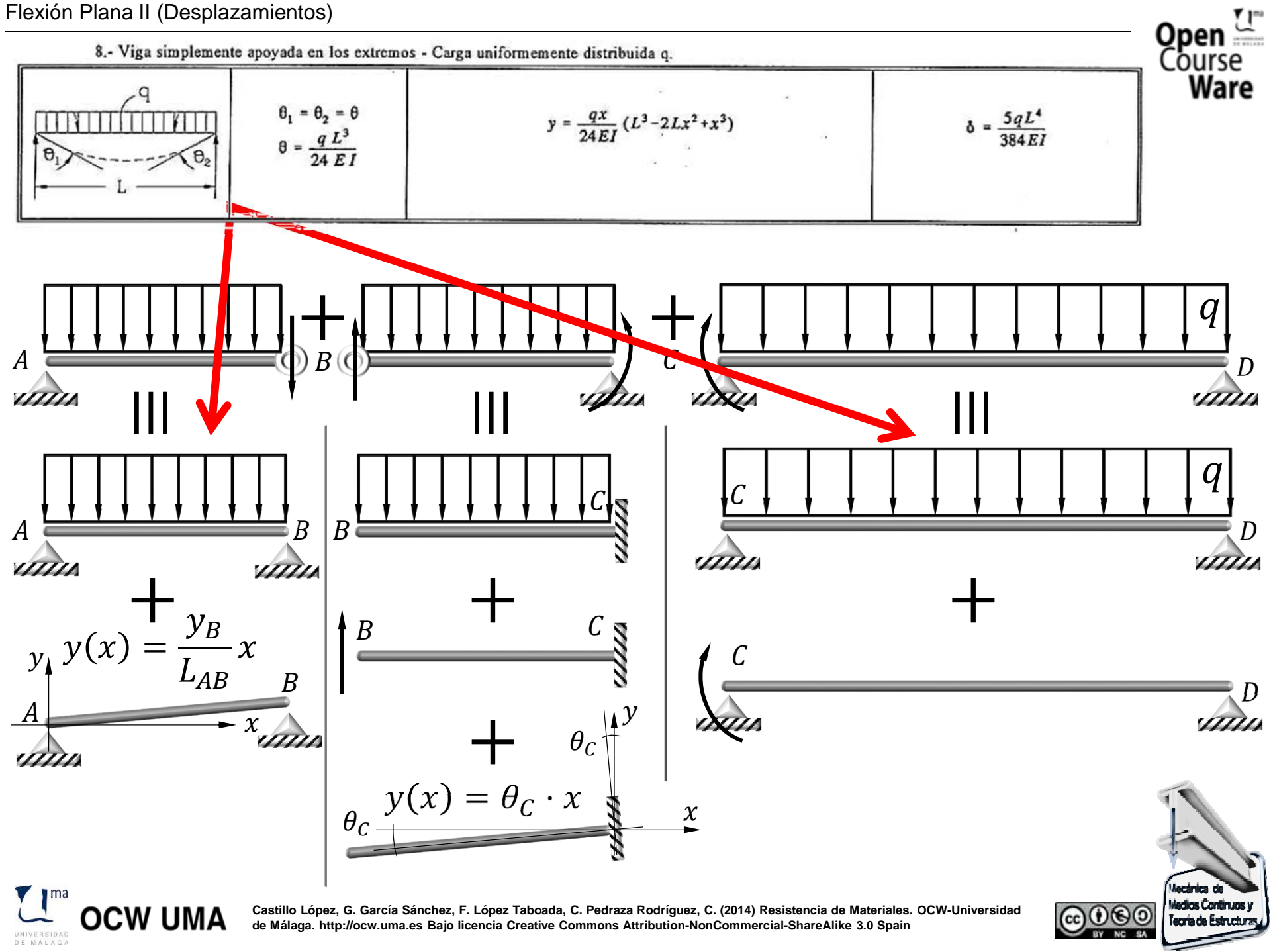


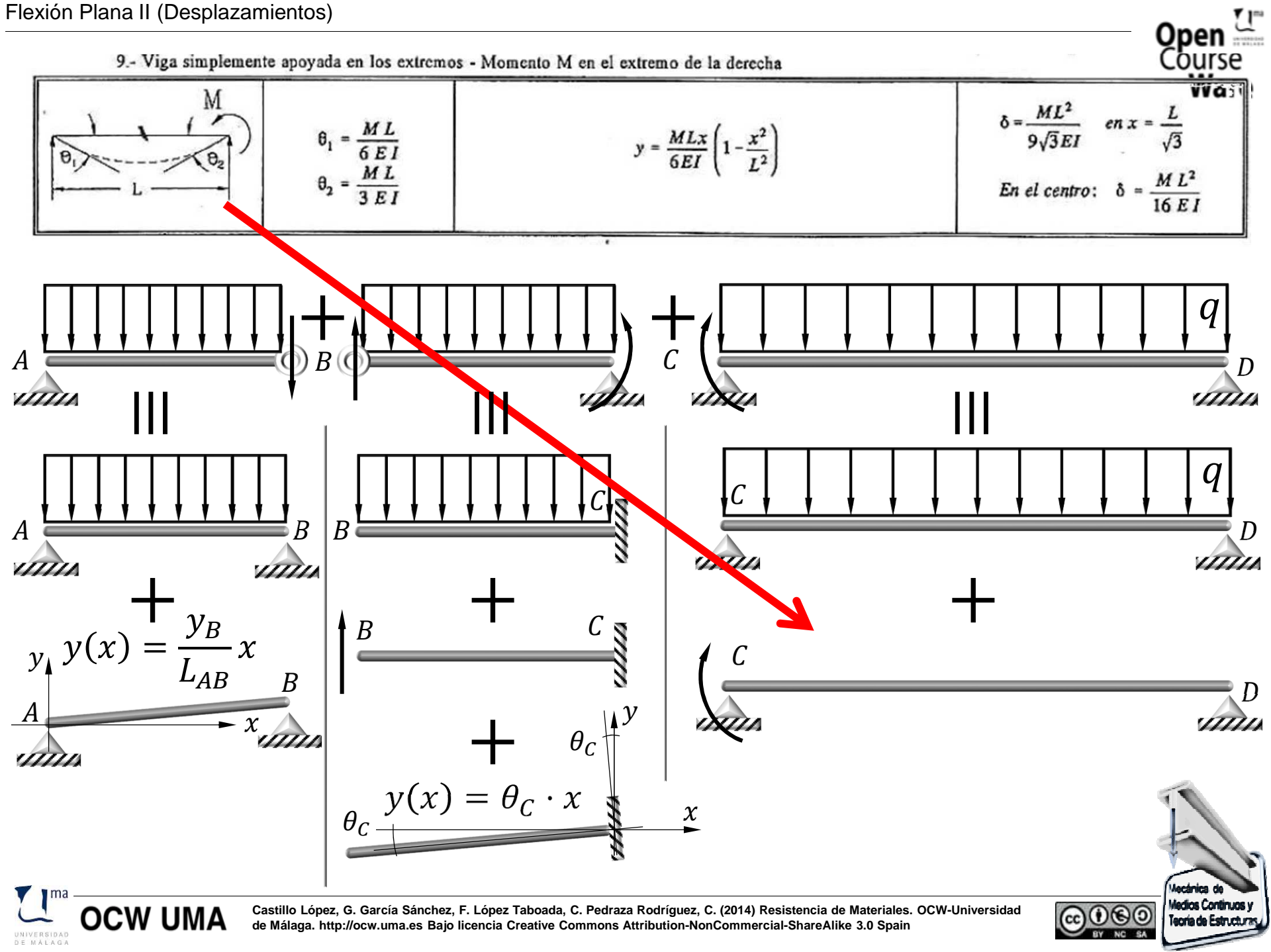


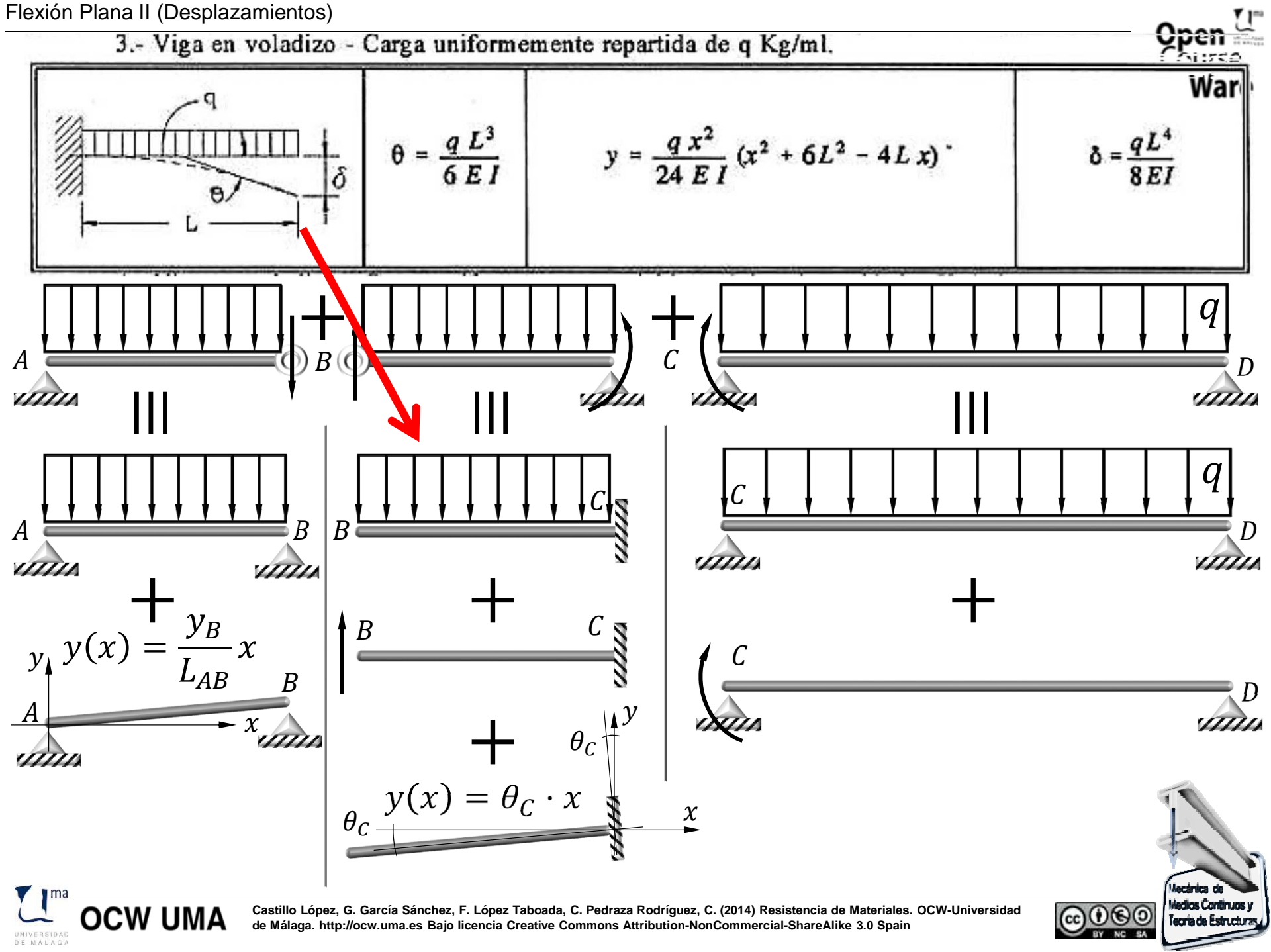
Medios Continuos y

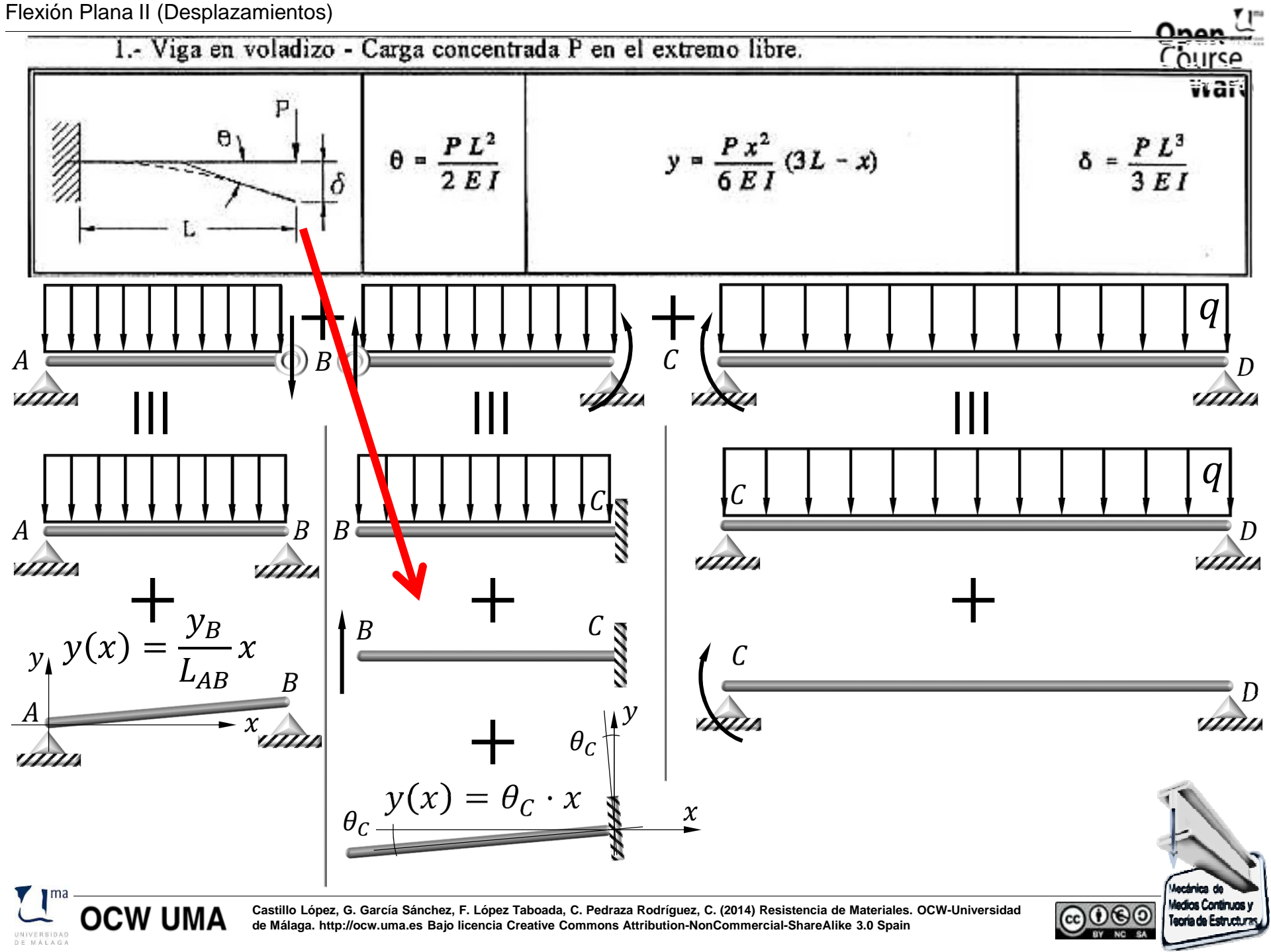
Teoria de Estructuras,







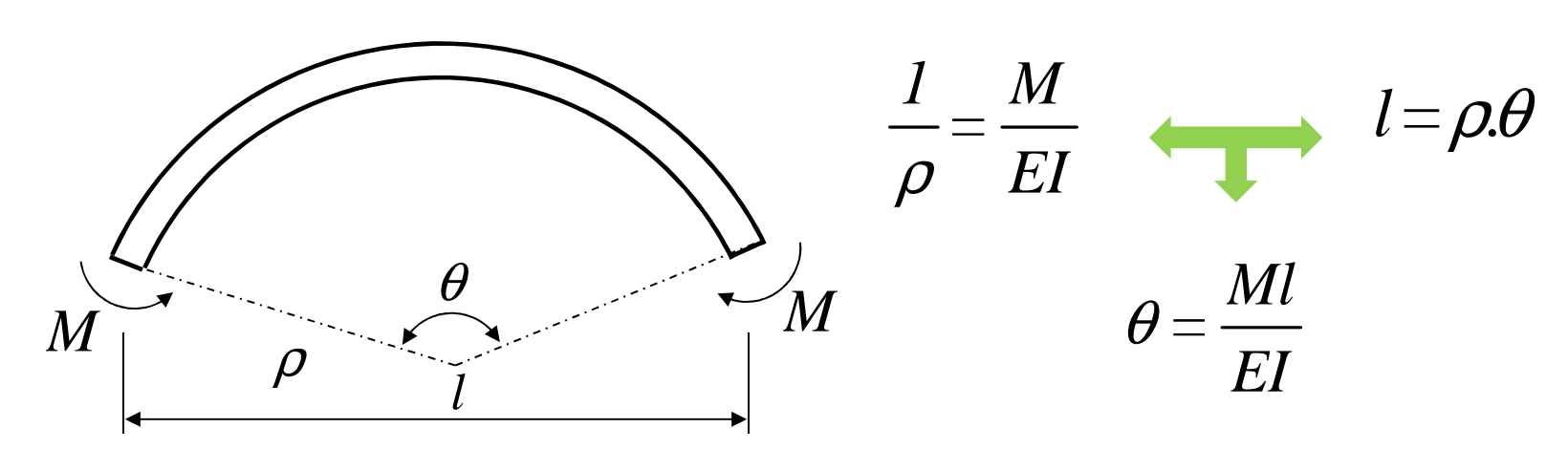




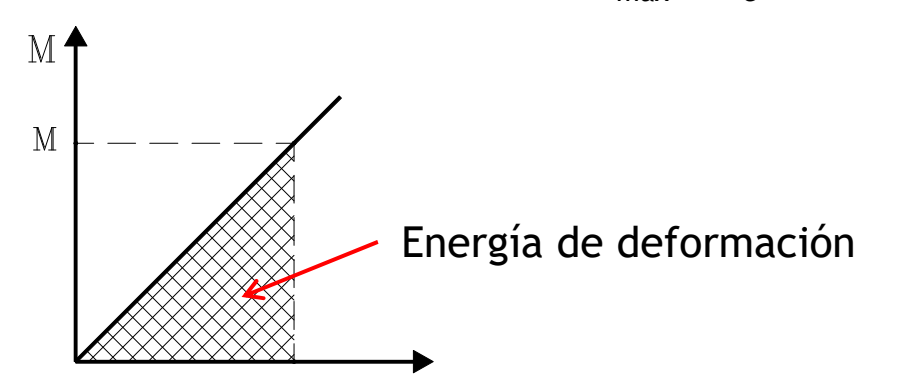


<u>Flexión Pura</u>

La deformada es un arco de circunferencia.



Ensayo de flexión Zona elástica Relación lineal $(\sigma_{max} < \sigma_e)$ momento flector - rotación



$$U = \frac{M\theta}{2}$$

$$U = \frac{M^2 l}{2EI} = \frac{EI \theta^2}{2l}$$



Energía de Deformación



Flexión Simple

Deformada \neq arco de circunferencia.

Energía de deformación en flexión debida a las tensiones normales

Hipótesis:

- En una rebanada de viga de longitud dx, la deformada se puede aproximar a un círculo.



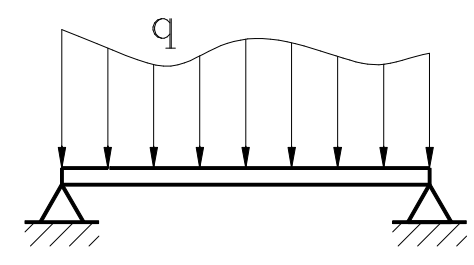
Mz constante dentro de la longitud dx (pero función de x).

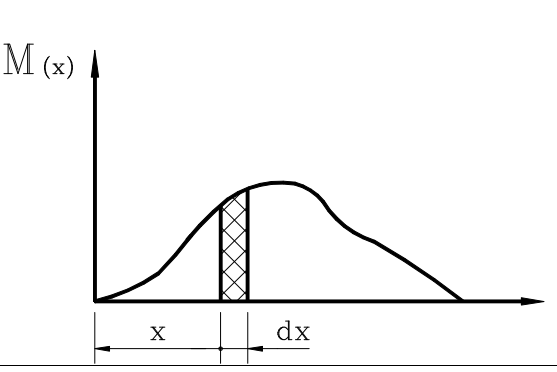
La energía de deformación dentro de la rebanada de longitud dx será:

$$dU = \frac{M_z^2(x).\,dx}{2EI}$$

e integrándola entre 0 y L:

$$U = \int_{0}^{l} \frac{M_{z}^{2}(x) \cdot dx}{2EI}$$







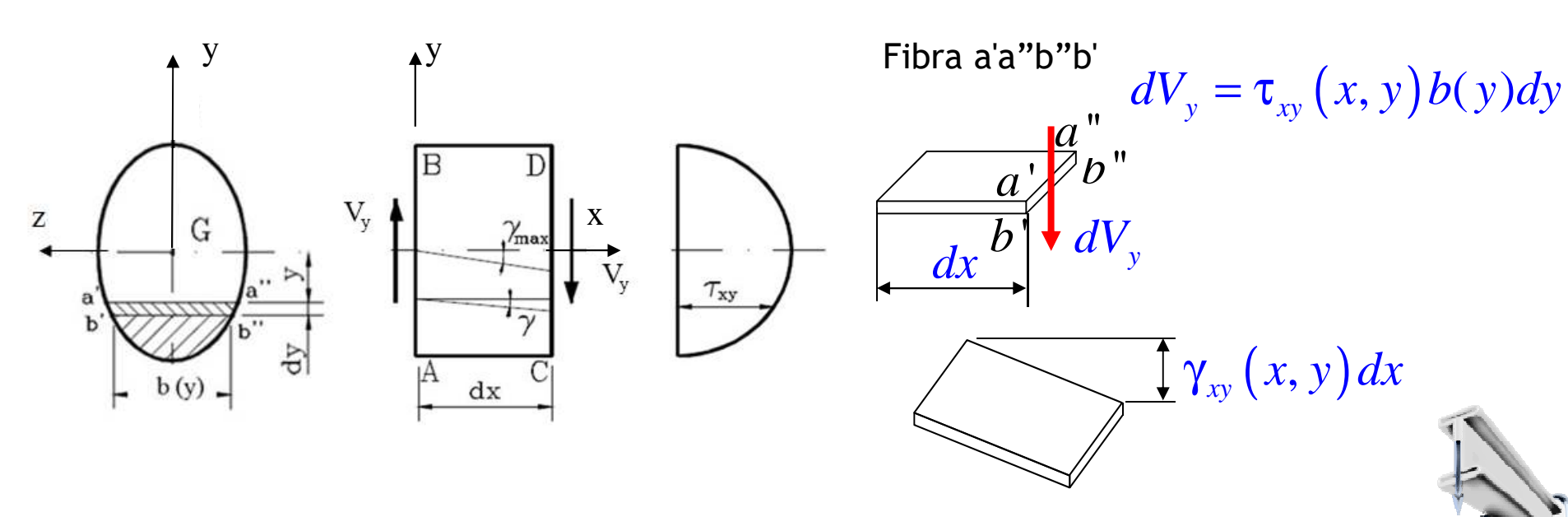
Flexión Simple

Energía de deformación en flexión debida a las tensiones de cizalladura

$$\tau_{xy}(x,y) = \frac{S_z(y)}{I_z b(y)} V_y(x)$$

Ley de Hooke:

$$au_{xy} = G \gamma \rightarrow \gamma = rac{ au_{xy}}{G}$$





Energía de Deformación

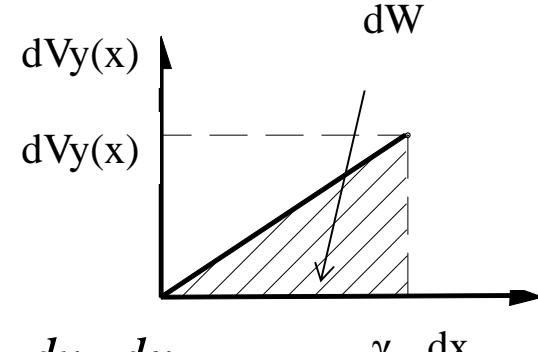
Open Course Ware

Flexión Simple

Energía de deformación en flexión debida a las tensiones de cizalladura

Trabajo elemental en la capa a'a" b" b de longitud dx, será:

$$dW = \frac{1}{2}.dV_{y}.\gamma_{xy}.dx$$



$$dW = \frac{1}{2}.dV_{y}.\gamma_{xy}.dx = \frac{\tau_{xy}b(y)\,dy}{2}.\frac{\tau_{xy}}{G}.dx = \frac{\tau_{xy}^{2}b(y)}{2G}.dy.dx \qquad \gamma_{xy}.dx$$

Suponiendo que no hay ninguna pérdida de energía, dicho trabajo se convertirá en energía de deformación e Integrando en ABCD, se obtendrá la energía de deformación acumulada en el dx:

$$dU = \frac{dx}{2.G} \int_{A} \tau_{xy}^{2}.b(y).dy$$

Reemplazando el valor τ_{xy} por su valor según Colignon e integrando:

$$dU = \frac{dx}{2.G} \int_{A} \left(\frac{Vy.Sz(y)}{I_z.b(y)} \right)^2 .b(y).dy = \frac{V_y^2.dx}{2.G.I_z^2} . \int_{A} \frac{S_z^2(y)}{b(y)}.dy$$







Que puede escribirse de la forma:

$$dU = \frac{V_y^2.dx}{2.G.A}$$

$$A' = \frac{I_z^2}{\int_A \frac{S_z^2(y)}{b(y)} . dy}$$

A' es la SECCIÓN REDUCIDA, tiene unidades de área y que depende únicamente de las dimensiones del tipo de sección. Así para una sección circular A'=0,9.A (ver tabla).

Tipo de sección	Sección reducida (A') (*)		
□ Pr 2r V	0,9. <i>A</i>		
② ↑	0,5. A		
z - 2a - >	0,8333. A		







Según Colignon la cizalladura tiene el valor de 0 en las fibras superior e inferior y su valor es máximo a mitad de la altura.

$$au_{xy} = G \gamma \rightarrow \gamma = \frac{ au_{xy}}{G}$$

- La sección no puede mantenerse recta.
- $\gamma = 0$ en los extremos, γ_{max} en el eje neutro
- γ_m = distorsión media

•
$$\gamma_m$$
 = distorsion media

$$\begin{array}{c|c}
 & dx \\
 & \gamma = 0 \\
\hline
V & \gamma_{\text{max}} \\
 & \gamma_{\text{max}}$$

$$\gamma_m = \frac{dy_1}{dx}$$
 (Pequeños desplazamientos)

Energía de deformación:

Trabajo exterior de deformación de ABCD

$$dU = \frac{1}{2}V \cdot dy_1 = \frac{1}{2}V \cdot \gamma_m \cdot dx$$

$$dU = \frac{1}{2}\frac{V^2}{G \cdot A'} dx$$

$$\frac{1}{2}V \cdot \gamma_m \cdot dx = \frac{1}{2}\frac{V^2}{G \cdot A'} dx$$







$$\gamma_m = \frac{dy_1}{dx} = \frac{V}{GA'} \qquad y_1 = \int_0^x \frac{V}{GA'} dx$$

Teniendo en cuenta la relación entre el cortante y el momento flector:

$$V = \frac{dM}{dx}$$

$$y_1 = \int_{0}^{x} \frac{dM}{G.A'}$$

y en el caso en que la sección reducida de la viga sea constante:

$$y_1 = \frac{1}{GA'} [M_{(x)} - M_{(o)}]$$

Esta deformación debería añadirse a la dada por la elástica cuando interviene sólo el momento flector. Sin embargo la deformación debida al esfuerzo cortante se suele despreciar respecto a la producida por el momento flector cuando se trata de vigas esbeltas.

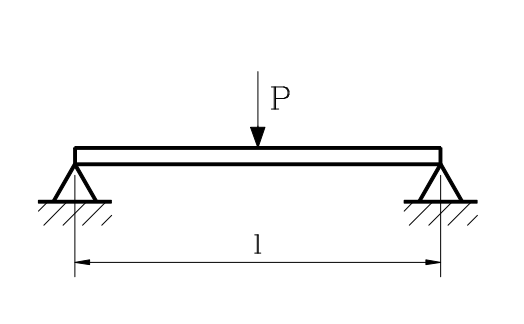


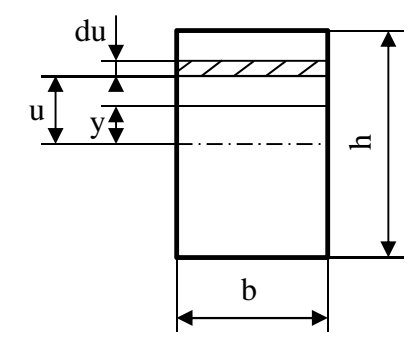




Ejemplo:

Calcular las flechas máximas producidas por M y V en una viga simplemente apoyada de sección rectangular sometida a una carga concentrada en su punto medio:





$$I_z = \frac{1}{12}bh^3$$

$$S_{(y)} = \int_{y}^{\frac{1}{2}h} b u \, du = \frac{b \frac{h^2}{4 - y^2}}{2}$$

$$\int_{A} \frac{S^2}{b} dy = \frac{bh^5}{120}$$

$$A' = \frac{I_z^2}{\int \frac{S^2}{h} dy}$$

$$A' = \frac{5}{6}bh$$

$$y_{\text{max}}^{M} = \frac{Pl^{3}}{48EI} = \frac{PL^{3}}{4Ebh^{3}}$$

$$y_{\text{max}}^{V} = \int_{0}^{\frac{L}{2}} \frac{P/2}{G\frac{5}{6}bh} dx = \frac{3Pl}{10Gbh}$$

$$y_{\text{max}} = y_{\text{max}}^M + y_{\text{max}}^V$$

Acero
$$G \approx \frac{3.8}{8}$$

$$y_{\text{max}} = y_{\text{max}}^{M} + y_{\text{max}}^{V}$$

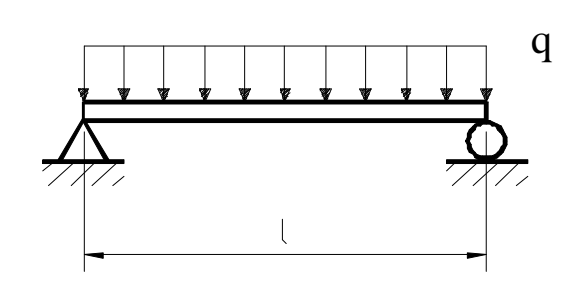
$$\frac{y_{\text{max}}^{V}}{y_{\text{max}}^{M}} = 3, 2\left(\frac{h}{l}\right)^{2}$$







Idem para el caso de una viga simplemente apoyada sometida a una fuerza distribuida normal y constante:



$$y_{\text{max}}^{M} = \frac{5.q.l^{4}}{32.E.b.h^{3}} \qquad y_{\text{max}}^{V} = \frac{3.q.l^{2}}{20.G.b.h}$$
$$\frac{y_{\text{max}}^{V}}{y_{\text{max}}^{M}} = 2,56 \left(\frac{h}{l}\right)^{2}$$

2 F	2 E		h/l			
Acero $G \approx \frac{3.E}{8}$		1/6	1/8	1/10	1/12	
$\frac{y_{\text{max}}^{V}}{y_{\text{max}}^{M}} = 2,56 \left(\frac{h}{l}\right)^{2} x 100$	Carga uniformemente repartida	7,11	4	2,56	1,77	
$\frac{y_{\text{max}}^{V}}{y_{\text{max}}^{M}} = 3, 2\left(\frac{h}{l}\right)^{2} x 100$	Carga puntual concentrada	8,88	5	3,2	2,22	







Caso de Vigas en doble T

El alma soporta prácticamente toda la deformación $y_{\max}^{V}>>$

Suponiendo que el alma es de espesor constante y que el eje neutro esté trabajando al máximo de cizalladura:

$$au_{xy} = au_{adm} = \frac{R_m}{\sqrt{3}}$$

Carga uniformemente repartida

$$\frac{y_{\text{max}}^{V}}{y_{\text{max}}^{M}} = 1.5 \frac{h}{l}$$

Carga puntual centrada

$$\frac{y_{\text{max}}^{V}}{y_{\text{max}}^{M}} = 3\frac{h}{l}$$

		h/l			
		1/8	1/10	1/12	1/20
y_{max}^{V}	Carga uniformemente repartida	18,7	15	12,5	7,5
$\frac{y_{\text{max}}}{y_{\text{max}}^{M}} \times 100$	Carga puntual concentrada	37,5	30	25,2	15







Conclusiones

- En la mayoría de los casos, las deformaciones debidas a la cizalladura son despreciables frente a las de flexión.
- Flecha debida a cizalladura aumenta proporcionalmente a h/l.
- En el caso de vigas huecas y de alma delgada y de gran altura (por ejemplo vigas en doble T), el error en el cálculo de desplazamientos comienza a ser considerable.
- En el caso de vigas sandwich en los que habitualmente el núcleo suele fabricarse de un material ligero y con un módulo de cizalladura bajo, el efecto de la cizalladura debe tomarse en cuenta ya que la flecha debida a la cizalladura puede ser incluso superior a la de la flexión.



